



Campo di Naomi-Pandora

Aggiornamento al 31/12/2014

Il campo di Naomi-Pandora è composto da due giacimenti, distanti 5 km l'uno dall'altro, che sono ubicati nell'offshore adriatico (concessione A.C33.AG - Eni 100%) a circa 35 km dalla costa. La profondità dell'acqua nell'area è di circa 35-38 m (Figura 2).

CONCESSIONE	SCADENZA	OPERATORE	TITOLARI	QUOTA	REGIONE
A.C33.AG	26/01/2016	Eni	Eni	100%	Emilia-Romagna

I livelli mineralizzati di tali giacimenti appartengono alle medesime formazioni clastiche del Pliocene superiore (Fm. Porto Garibaldi – livelli PL3-H1 e PL3-H2) e si trovano all'incirca alla stessa profondità (2630 m slm). Dette formazioni si sono depositate come riempimento di strutture a canyon sottomarino incise nel basamento (piattaforma continentale croata) e chiudono per pinch-out contro il basamento stesso (Figura 3).

Il campo si sviluppa per uno spessore complessivo di circa 80 m (da 2600 m ssl a 2680 m ssl) e ha un'estensione di circa 78,4 km².

Il giacimento di Naomi è stato scoperto nel 1995 con la perforazione del pozzo esplorativo Naomi 1 che ha rinvenuto mineralizzati a gas i livelli PL3-H1 e PL3-H2. Il pozzo è stato provato e chiuso minerariamente. A febbraio 1995 è stato perforato il pozzo Naomi 1 dirA, che ha verificato la presenza del livello PL3-H1 in posizione di alto strutturale. Anche in questo caso si è fatta la chiusura mineraria.

Il giacimento di Pandora è stato scoperto nel 1996 con la perforazione del pozzo Pandora 1 che ha rinvenuto mineralizzato il livello PL3-H1; la struttura di Pandora è adiacente ma spostata più a ovest rispetto a quella di Naomi. Anche il pozzo Pandora 1 è stato provato e chiuso minerariamente.

Nel dicembre 1998 Eni ha presentato ai Ministeri dell'Ambiente, dell'Industria e alla Regione Emilia-Romagna un piano di sviluppo del campo di Naomi-Pandora che prevedeva l'installazione di una piattaforma di tipo BEAF, la perforazione di 4 pozzi (2 per il giacimento Naomi e 2 per quello di Pandora) e la posa di un sealine per inviare la produzione alla



piattaforma Garibaldi T.

Nel documento SIA si riportava un profilo di produzione ottenuto da uno studio di giacimento (modello monocella) del febbraio 1998 che valutava le riserve a vita intera pari a 1611 MSm³ producibili in 12 anni, con un picco di produzione giornaliera di 500 kSm³/g. Con il DEC/VIA n° 5369 del 04/10/2000, il Ministero dell'Ambiente esprimeva giudizio positivo di compatibilità ambientale e approvava il programma lavori presentato.

Lo studio di giacimento di Naomi-Pandora è stato poi rivisto nel 2000 (rel. RAIP n.021-00 dell'agosto 2000, "Revisione Modello 3D dinamico per Fattibilità"), aggiornando sia il GOIP complessivo del campo a 3454 MSm³ (di cui 2955 MSm³ attribuibili a Naomi e 499 MSm³ a Pandora), sia il volume di riserve producibili al 2030 e risultate pari a 2340 MSm³ (fattore di recupero del 68%).

Nel 2001 si è sviluppato il campo perforando e completando 3 pozzi (Naomi 2dir, Naomi 3dir e Pandora 2dir); un quarto pozzo perforato (Naomi 4dir) è stato dedicato al monitoraggio della compattazione profonda con l'installazione di marker.

I pozzi sono stati aperti alla produzione nell'agosto 2001 con una portata iniziale di circa 370 kSm³/g e hanno erogato sino al 01 febbraio 2003. A tale data il campo è stato chiuso a seguito di un provvedimento dell'Autorità Giudiziaria che ha posto i sigilli ai pozzi il 5 febbraio 2003.

Nel 2010 è stato autorizzato il ripristino della produzione, avvenuto di fatto ad aprile 2011. Alla riapertura dei pozzi, solo la string Naomi 3C ha erogato gas con una portata di circa 150 kSm³/g. Le altre due string (Naomi 2L e Pandora 2S) non sono state, invece, in grado di produrre essendosi colmate d'acqua di strato e/o danneggiate nel lungo periodo di chiusura (8 anni circa). Tali eventi sono probabilmente da ricollegare alla non perfetta riuscita delle operazioni di completamento iniziale dei pozzi.

E' stato, pertanto, presentato un progetto che prevedeva la perforazione di due sidetrack a partire dai pozzi esistenti di Naomi 2dir (sidetrack Naomi 2dirA) e di Pandora 2dir (sidetrack Pandora 2dirA) per recuperare le riserve rimanenti del campo (rel. GIAC/CS n. 27-11 dell'agosto 2011). Il progetto è stato realizzato e completato nel luglio 2012.

A gennaio 2011 è stata inoltrata al M.S.E. la "Relazione Tecnica di Giacimento e sullo Stato degli Impianti - Anno 2010" relativa alla concessione A.C33.AG nella quale si è aggior-



nato lo stato del campo. In tale relazione si riportavano volumi del GOIP (3454 MSm³) delle riserve (2350 MSm³ producibili al 2036) sostanzialmente in linea con le valutazioni dello studio dell'agosto 2000 (2340 MSm³ producibili al 2028).

Nel 2013 è stata fatta una nuova revisione degli studi statico e dinamico di giacimento per il campo di Naomi-Pandora (*rel. GISE-26/13 del 19/12/2013, Campi di Naomi e Pandora – Studio di Giacimento*), che ha aggiornato sia il GOIP complessivo a 3638 MSm³ (di cui 3106 MSm³ attribuibili a Naomi e 532 MSm³ a Pandora), sia il volume delle riserve a 2301 MSm³ (producibili al 2038) che si sono leggermente ridotte (circa il 2%) rispetto a quanto stimato nel gennaio 2011.

In Figura 4 è riportato il confronto tra i profili di produzione (modelli Eclipse 3D) del gennaio 2011 e del dicembre 2013.

In Figura 5 sono riportati gli andamenti storici della portata di gas (kSm³/g), d'acqua (m³/g) e della produzione cumulativa di gas aggiornata al 31/12/14 (pari a circa 706 MSm³).

Nel 2014 è stata eseguita una campagna d'acquisizione di profili statici di pressione nei pozzi del campo. Tali pressioni sono in linea con quanto previsto da modello (Fig. 6).

Per il campo di Naomi-Pandora si sono fatte diverse previsioni di subsidenza con modelli geomeccanici di complessità crescente in relazione ai dati giacimentologici, dinamici e geomeccanici che via via si rendevano disponibili.

In particolare, per il SIA del dicembre 1998, presentato per l'approvazione del progetto iniziale di sviluppo, si è utilizzato il modello cilindrico di Geertsma basato sullo studio di giacimento (mod. monocella) del febbraio 1998. La subsidenza massima prevista con tale modello è stata a fine produzione di 1,2 cm sul culmine del giacimento di Naomi (*“Valutazione preliminare dei massimi valori di subsidenza previsti per i campi a gas di Naomi e Pandora” - Allegato al S.I.A. per l'istanza di concessione di coltivazione “d.24.A.C. – AG”, progetto Naomi-Pandora - doc. n. 2479 del dic.1998*).

Sulla base delle nuove informazioni acquisite con la perforazione dei pozzi e con i dati dinamici ottenuti dall'analisi del loro comportamento produttivo, si sono completamente rivisti gli studi statico e dinamico di giacimento. Per la parte dinamica si sono fatte simulazioni 3D con il modello Eclipse per avere una dettagliata ricostruzione della distribuzione delle pressioni in giacimento.



Il nuovo modello di giacimento è servito, poi, come base per una nuova previsione di subsidenza, eseguita nel 2002 con un modello geomeccanico 3D a elementi finiti (rel. *Isamgeo maggio 2002- Campi a gas di Naomi-Pandora-Modello predittivo di subsidenza*). In tale revisione si è fatta un'analisi dettagliata delle proprietà meccaniche dei livelli in produzione. In particolare per il coefficiente di compressibilità uniassiale C_m si sono confrontati i valori ottenibili con due diversi metodi:

- a) una correlazione elaborata da ricercatori dell'Università di Padova¹ utilizzando le misure in situ di compattazione profonda fatte in pozzi Eni situati nell'offshore adriatico ed equipaggiati con marker;
- b) un modello geostatistico elaborato da Isamgeo sulla base di dati forniti da Eni comprendenti numerose misure di laboratorio, le misure di compattazione profonda di cui al punto precedente e stime di velocità sismica dei sedimenti profondi dell'area adriatica.

I due diversi approcci hanno prodotto valori di compressibilità uniassiale C_m sostanzialmente equivalenti, per cui si è deciso d'impiegare la correlazione di *Baù et al.* per la stima del coefficiente C_m nelle previsioni di subsidenza.

Per quest'ultime si sono esaminati due casi:

- 1) Caso Atteso. La previsione è stata fatta utilizzando il valore atteso (i.e. più probabile) della compressibilità C_m . I risultati coincidono sostanzialmente con quelli del modello cilindrico di Geertsma sia per il valore massimo di subsidenza (1,4 cm alla fine della produzione prevista nel 2031) che per l'estensione del cono di subsidenza.
- 2) Caso Pessimistico. La previsione è stata fatta utilizzando i valori di compressibilità uniassiale C_m corrispondenti alla curva superiore al 95% della correlazione di *Baù et al.* In pratica i valori di C_m impiegati sono stati il doppio di quelli del "Caso Atteso". I risultati sono stati di una subsidenza massima di circa 3 cm a fine produzione; l'estensione del cono di subsidenza (linea d'isosubsidenza di 1 cm)² è ovviamente risultata estremamente contenuta e confinata sulla verticale dei giacimenti.

¹ Baù, D., Ferronato, M., Gambolati, G., and Teatini, P., 2002. Basin-scale compressibility of the northern Adriatic by the radioactive marker technique. *Geotechnique*, Vol. 52, No. 8, pp. 605-616.

² Nei modelli geomeccanici di Naomi-Pandora realizzati da Eni nel periodo 1998-2003 l'estensione del cono di subsidenza è stata fatta corrispondere alla linea d'isosubsidenza di 1 cm. All'epoca, infatti, non erano ancora disponibili gli studi condotti dalla Commissione Scientifica Internazionale (CSI), nominata da Eni e presieduta dal Prof. E. Boschi che, su tale argomento, ha concluso che la linea d'isosubsidenza di 2 cm è da considerarsi "the limit of any physical identification of induced subsidence effects". Gli studi e le conclusioni della CSI sono



Il modello geomeccanico del 2002 è stato aggiornato nel 2003 (rel. *Isamgeo gennaio 2003- Campi a gas di Naomi-Pandora - Modello predittivo di subsidenza - Rapporto Finale*)

avendo nuove informazioni, quali:

- a) la stima di compressibilità dei livelli Naomi-Pandora ottenuta monitorando la compattazione profonda tramite i marker installati nel pozzo Naomi 4D;
- b) la distribuzione delle pressioni nei due giacimenti e nell'acquifero idraulicamente connesso ottenuta da simulazioni con modello Eclipse 3D, previa calibrazione con i dati di un anno e mezzo di produzione.

Anche in questo aggiornamento si sono esaminati due casi di previsione di subsidenza per valutare la sensibilità dei risultati al variare del metodo con cui si sono valutati e scelti i valori di compressibilità uniassiale C_m usati nelle simulazioni.

In particolare

- Caso A: si sono impiegati i valori di C_m ottenuti dalla correlazione regionale di *Baù et al.* (analogamente a quanto effettuato nello studio del 2002);
- Caso B: si sono impiegati i valori di C_m ottenuti dalle misure in situ sul pozzo Naomi 4D.

I risultati sono stati confrontati sia con le previsioni del modello del dicembre 1998 (allegate al SIA) sia con quelle dello studio Isamgeo del 2002.

Le conclusioni che si possono trarre sono:

1. la previsione di subsidenza del Caso A coincide sostanzialmente con quella sia del modello cilindrico di Geertsma che del modello Isamgeo del 2002 in termini di valore massimo (poco oltre 1 cm) e d'estensione del cono;
2. la previsione di subsidenza del Caso B dà risultati lievemente più pessimistici di quelli ottenuti sia con il modello cilindrico di Geertsma che con il modello Isamgeo del 2002.

Più in dettaglio per quest'ultimo caso si ha:

- la subsidenza massima prevista è di circa 2-3 cm sulla verticale dei due giacimenti;
- l'estensione del cono verso costa è minima e si esaurisce a breve distanza dai giacimenti.

stati resi pubblici con il volume "*Land Subsidence – Special Volume*" edito in occasione del *7th International Symposium on Land Subsidence – Shanghai (P.R. China) – 23-38 Oct. 2005*. Pertanto solo a partire da tale data Eni ha considerato nei propri studi la linea d'isosubsidenza di 2 cm come il contorno esterno che delimita il cono di subsidenza.



I risultati di tutti gli studi geomeccanici eseguiti indicano che un'eventuale subsidenza indotta dalla produzione del campo di Naomi-Pandora sarebbe d'entità trascurabile e non causerebbe alcun impatto sia sulla costa emiliano-romagnola, sia sul delta del Po.

A seguito della ripresa della produzione avvenuta nell'aprile del 2011 e delle nuove informazioni ottenute sul comportamento dei due giacimenti, si sono aggiornati nel corso del 2013 gli studi statico e dinamico del campo; nel dicembre del 2013 è stato poi aggiornato anche il modello geomeccanico per la previsione della subsidenza.

I risultati di questo nuovo lavoro (Tabella 1 Fig. 7) mostrano, per lo scenario medio, un valore massimo di subsidenza un po' superiore ai 2 cm al termine della produzione del campo (01/01/2038). La massima estensione del fenomeno, valutata come distanza del punto di massima subsidenza dalla linea d'isosubsidenza dei 2 cm è di circa 2 km al termine della produzione. Dopo 30 anni dalla fine della produzione (01/01/2068) il valore massimo di subsidenza si assesta sui 3 cm, mentre la massima estensione è di circa 3 km. Il fenomeno si esaurisce, quindi, a una distanza di circa 34 km dalla linea di costa. Tale valore rimane inalterato anche tra il 2038 e il 2068 (Figura 8).

Tabella 1 – Scenario medio: massima subsidenza e massima estensione del cono

Data	Scenario medio	
	Max sub (cm)	Max estensione (km)
1-gen-2038	2	2
1-gen-2068	3	3

A partire dai primi anni '70, Eni ha progettato e realizzato lungo la costa adriatica una rete di livellazione geometrica che, su richiesta degli Enti di Controllo a livello regionale e nazionale (Regione Emilia Romagna, Provincia di Ravenna, Comune di Ravenna e Ministero dell'Ambiente), viene rilevata da oltre un decennio con cadenza periodica. A partire dalla campagna 2011, dopo un intervallo di un anno nel 2010 (anno in cui non sono state fatte livellazioni), tale periodicità ha una cadenza triennale come raccomandato nelle "Linee Guida



per lo Studio dei Fenomeni di Subsidenza nell'Ambito dei Progetti di Sviluppo Sostenibile di Campi ad Olio e Gas emesse dal Dip. DMMMSA dell'Università di Padova nel 2007.

Le specifiche tecniche adottate sono quelle ora in uso per i rilievi della rete Eni e rispettano le indicazioni contenute nelle già citate linee guida emesse dall'Università di Padova. Eni, inoltre, ha affidato la certificazione della documentazione e della metodologia utilizzata a un ente esterno, che attualmente è il Dipartimento DICAM dell'Università di Bologna.

La rete di livellazione, rilevata nel 2014, è suddivisa nelle seguenti aree di attività:

- dorsale Adriatica, da Treviso fino a Pesaro, compreso lo sviluppo degli sbracci sul delta del Po, per un totale di circa 1100 km di sviluppo lineare;
- tratto da Pesaro a P.to San Giorgio, per un totale di circa 220 km di sviluppo lineare;
- tratto Marche-Abruzzo, da P.to San Giorgio a Pescara, per un totale di circa 110 km di sviluppo lineare.

Le operazioni si sono svolte nel periodo compreso tra giugno e ottobre 2014 sotto la diretta supervisione di tecnici Eni e degli esperti dell'ente certificatore.

Si ritiene, inoltre, opportuno sottolineare che sebbene vi siano punti di contatto tra i vari tratti di livellazione afferenti alla rete Eni, allo stato attuale non è possibile utilizzare in modo congiunto i valori di quota ottenuti sulle singole reti a causa della disomogeneità tra i capisaldi origine delle tre reti di livellazione. Per ovviare a tale situazione determinata da fattori ambientali (grandi distanze), su suggerimento dell'ente certificatore, è stata realizzata una linea di stazioni permanenti CGPS disposte a distanze regolari tra Pineto e P.to Sant'Elpidio che, con il consolidamento dei dati CGPS, costituiranno una serie di capisaldi origine omogenei, tali da consentire d'ottenere misure di quota fra loro consistenti da Treviso a Pescara.

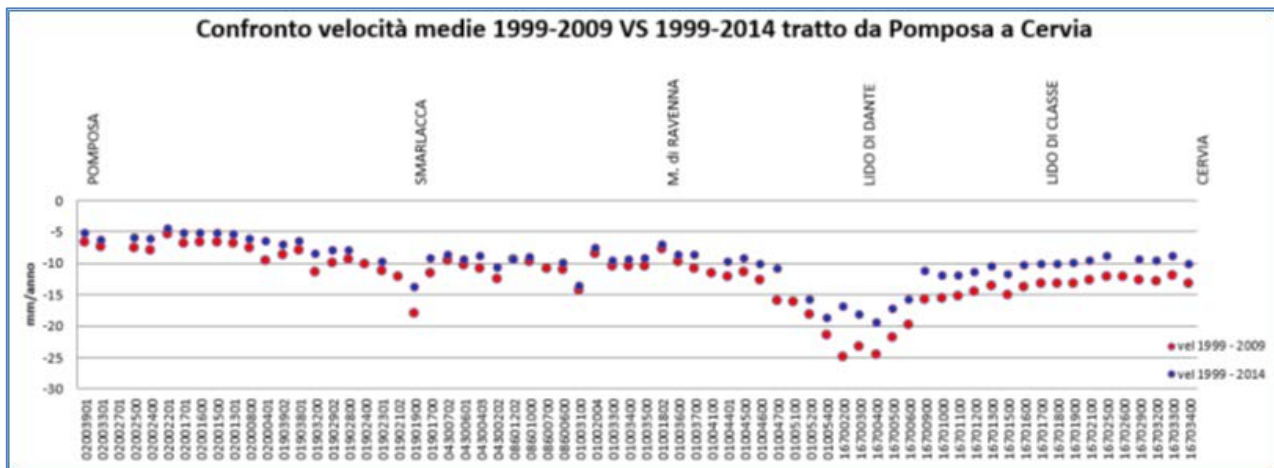
Per il tratto di costa compreso tra la zona di Pomposa e il centro abitato di Cervia - prospiciente i campi di Naomi-Pandora, Guendalina e Tea-Lavanda-Arnica - sono disponibili livellazioni non completamente omogenee tra loro poiché le misure su alcuni capisaldi sono iniziate solo a partire dal 2003. Di conseguenza si sono stimate con regressione lineare solo



le velocità medie di abbassamento del suolo per quei capisaldi che presentano una serie storica di misure senza soluzione di continuità.

I risultati ottenuti per gli intervalli 1999-2009 e 1999-2014 sono riportati in Figura 1: il confronto mostra come negli ultimi anni si sia avuta una generale diminuzione velocità di subsidenza, diminuzione che è mediamente dell'ordine 2,4 mm/a, con una punta minima di 1,5 mm/a e una massima di 8,1 mm/a.

Figura 1 – Tratto Pomposa-Cervia: velocità medie di subsidenza



Si deve osservare che i dati di livellazione, misurati sul singolo caposaldo, non sono di solito sufficienti per caratterizzare la distribuzione areale della subsidenza. Le misure sul singolo caposaldo, infatti, possono essere talvolta alterate da “disturbi” accidentali intervenuti nel tempo sul manufatto su cui i capisaldi stessi sono stati materializzati.

Al fine d’ottenere una rappresentazione areale della subsidenza o della velocità media di subsidenza di una certa area è necessario avere, quindi, misure di livellazione di più capisaldi, per la cui interpretazione può convenire poi una suddivisione in opportune classi di valori, come si dirà nel seguito.

Per tratto di costa da Pomposa a Cervia si sono di nuovo considerati solo i capisaldi con una serie storica ininterrotta di misure. Le relative velocità medie di abbassamento del suolo³ (V_a), stimate con regressione lineare, sono state raggruppate nelle seguenti 5 classi:

³ Nel presente rapporto di norma le velocità di subsidenza (i.e di abbassamento della superficie) sono rappresentate con valori negativi. Per comodità d’interpretazione, però, nell’elenco che segue, come pure nel paragrafo successivo, le velocità di subsidenza sono state rappresentate con valori positivi.



- classe 4: include i capisaldi con $V_a > 10$ mm/a;
- classe 3: include i capisaldi con $5 \leq V_a < 10$ mm/a;
- classe 2, include i capisaldi con $3 \leq V_a < 5$ mm/a;
- classe 1: include i capisaldi con $0 \leq V_a < 3$ mm/a;
- classe 0: include i capisaldi con $V_a < 0$ (sollevamento del suolo).

L'elaborazione con questo approccio delle misure di livellazione del periodo 1999-2014 mostra un trend di generale abbassamento di questo tratto di costa. Il 51% dei punti ricade, infatti, nella classe 3, il 47% dei punti ricade nella classe 4 e solo un caposaldo, con una velocità V_a di 4,5 mm/a, ricade nella classe 2.

Le campagne future potranno eventualmente meglio definire tale trend d'abbassamento, anche se non si possono escludere cedimenti locali dovuti a instabilità dei capisaldi stessi che saranno, comunque, oggetto di verifica durante le prossime campagne di misura.

Sebbene non siano presenti capisaldi con monumentazione e serie storica sufficiente per un confronto puntuale con i dati GPS, le velocità medie d'abbassamento del suolo stimate con le misure di livellazione nei punti prossimi alle stazioni CGPS sono risultate comparabili con quelle rilevate dal monitoraggio CGPS (fatte salve le diverse precisioni dei due sistemi).

Per completare il monitoraggio altimetrico del tratto di costa antistante alle piattaforme si è proceduto, inoltre, ad aggiornarne la copertura SAR (settembre 2014) per un'analisi integrata con i dati della campagna di livellazione del 2014 (Appendice 1). Il confronto mostra come i profili altimetrici (Figura 9), pur se ottenuti con sistemi di monitoraggio molto diversi, abbiano un andamento del tutto comparabile, anche se la diversa origine non consente confronti in valore assoluto (vedi shift tra i diversi profili).

Si è quindi proceduto all'integrazione dei dati SAR e di livellazione con i dati altimetrici forniti dalle stazioni CGPS installate nei siti onshore del tratto di costa antistante alle piattaforme.



Le attività di monitoraggio sono state integrate negli ultimi anni con le misure di un numero crescente di stazioni CGPS installate nelle piattaforme offshore. Dal 2007, infatti, sono state installate stazioni CGPS sulle piattaforme di Regina e Calpurnia (giugno 2007), Anemone B (agosto 2007), Annalisa (ottobre 2007), Calipso, Clara Est e Clara Nord (novembre 2007), Annamaria A e Annamaria B (gennaio 2010), Clara W (ottobre 2010) e Guendalina (agosto 2011); le stazioni CGPS di Naide e PCC risultano, invece, operative dal luglio 2005, mentre la postazione Naomi-Pandora è attiva dal giugno 2002. Nel 2014, sono state installate anche le nuove stazioni CGPS di Elettra e Fauzia la cui serie storica è troppo breve per consentire valutazioni specifiche.

Il sistema di monitoraggio è stato, poi, ulteriormente potenziato con la realizzazione lungo la costa nel tratto prospiciente i campi sopracitati, di 3 stazioni altimetriche SSU (Satellite Survey Unit) equipaggiate con un CGPS, un caposaldo di livellazione geometrica e 2 bersagli radar solidalmente connessi tra loro tramite una trave di cemento armato.

Le 3 stazioni SSU sono state realizzate nelle Centrali Eni di Rubicone, di Fano e di Falconara nel dicembre 2007; negli stessi siti sono stati perforati tra ottobre e dicembre 2008 anche 3 pozzi assestometrici per il monitoraggio della compattazione superficiale del terreno. Tali stazioni si sono aggiunte a quelle preesistenti, installate più a Nord lungo la costa ravennate, nelle località di Fiumi Uniti, di Smarlacca e di Spinaroni (Appendice 2).

Inoltre, come detto in precedenza, sono state monumentate altre 4 stazioni CGPS, in Ortona, Pineto, Grottammare e P.to Sant'Elpidio, il cui completamento è avvenuto nel dicembre 2009, tutte equipaggiate con 2 bersagli radar e con caposaldo di livellazione.

Allo stato attuale la stazione di Ortona non è più operativa dal 19 aprile 2013 per l'alienazione dell'area.

Analogamente a quanto avviene per la livellazione, anche i dati del monitoraggio CGPS sono sottoposti a validazione da parte di un Ente esterno. Attualmente quest'attività è svolta dall'Università degli Studi di Bologna, facoltà di Fisica.

I dati CGPS acquisiti sulla piattaforma Naomi sono certificati fino al 2013 e in fase di certificazione per il 2014; tali dati sono stati elaborati con il software scientifico Bernese dalla ditta e-GEOS.



Per rappresentare in grafici plano-altimetrici la serie storica più completa di misure, ovvero quella estesa al 31/12/2014 (Figura 10), sono stati utilizzati in questa relazione anche i dati non certificati, vista la loro generale convergenza con quelli certificati, come mostrato in Tabella 2.

Tabella 2 – Confronto dati CGPS certificati e non certificati aggiornati al 31/12/2013

Stazione	Dati Non Certificati			Dati Certificati			Delta (Non Cert.-Cert.)		
	Vel-N mm/aa	Vel-E mm/aa	Vel-H mm/a	Vel-N mm/a	Vel-E mm/a	Vel-H mm/a	D-N mm/a	D-E mm/a	D-H mm/a
Naomi-Pandora	17,85	21,50	-1,10	18,06	21,82	-1,25	-0,21	-0,32	0,15

A questo proposito è opportuno precisare che l'analisi e l'interpretazione degli andamenti nel tempo delle misure altimetriche CGPS, da utilizzarsi per una verifica/taratura dei modelli previsionali di subsidenza, non può essere considerata sufficientemente attendibile per dataset relativi a periodi di osservazione inferiori ai 36 mesi, come indicato dall'Ente che certifica tali dati con cadenza biennale.

L'Ente certificatore, infatti, verifica e valida i dati registrati al fine d'avere un numero sufficiente d'osservazioni per il corretto inquadramento delle componenti periodiche, della loro incidenza sulle misure e poter filtrare il "rumore" che per piccole velocità di subsidenza è dello stesso ordine di grandezza del valore del fenomeno fisico misurato.

Serie storiche di durata inferiore ai 36 mesi possono, quindi, essere utilizzate solo per confrontare il trend degli andamenti temporali delle misure altimetriche con quello dei valori calcolati da modello previsionale, qualora si abbia una subsidenza caratterizzata da valori sufficientemente elevati. In questi casi sarà possibile monitorare solo eventuali anomalie di trend ma non procedere a un confronto diretto dei valori attesi da modello vs. i valori misurati.

In generale:

- dataset < 12 mesi: solo follow up per monitoraggio dei dati acquisiti;
- dataset di 12÷36 mesi e:



- piccoli valori di subsidenza: analisi tendenziale del fenomeno e monitoraggio delle anomalie verso il trend previsionale;
- grandi valori di subsidenza: analisi tendenziale del fenomeno per calibrazione del modello previsionale;
- dataset > 36 mesi: analisi di trend e calibrazione dei modelli geomeccanici, confrontando il dato di velocità di subsidenza misurato (depurato dalla velocità di subsidenza naturale) e i valori dei modelli previsionali.

Le elaborazioni sono state fatte con software scientifico Bernese 5.0, strategia OBS-MAX, utilizzando i prodotti finali (effemeridi precise e file del polo) messi a disposizione dall'IGS (International GNSS Service). Nel corso del 2013, a seguito del rilascio del nuovo sistema di riferimento, sono stati rielaborati tutti i dati secondo il sistema ITRF2008-IGB08, al quale fanno riferimento i grafici della presente relazione.

Per le nostre elaborazioni il sistema di riferimento è materializzato dalle stazioni appartenenti alla rete EUREF disponibili tra: Bucarest, Genova, Graz, Matera, Medicina, Padova, Penc, Sofia, Torino, Zimmervald. L'eliminazione degli outlier delle serie storiche è effettuata mediante test a 3 SIGMA iterativo.

Nel caso di Naomi-Pandora, sulla base di una serie storica superiore ai 36 mesi, è possibile stimare una velocità media di subsidenza totale⁴ misurata dal CGPS pari a -1,4 mm/a (Figura 10), praticamente invariata rispetto al valore (-1,2 mm/a al 2013) riportato nella precedente relazione d'aggiornamento.

La serie storica dei monitoraggi CGPS presenta un'interruzione causata dai lavori di work-over ai pozzi e da un guasto alla strumentazione; il calcolo del valore di regressione è stato, comunque, fatto dall'inizio della serie storica fino al 31/12/14.

La storia produttiva del campo di Naomi-Pandora può essere suddivisa in tre fasi distinte: una prima fase di produzione da settembre 2001 a marzo 2003 (durante la quale è iniziata

⁴ La "subsidenza totale CGPS" rappresenta in questo caso l'abbassamento altimetrico che il fondale marino subisce in corrispondenza della piattaforma su cui è installato il CGPS. A determinare tale "subsidenza totale" concorrono vari fenomeni: la compattazione di strati profondi per estrazione di gas (subsidenza antropica), movimenti tettonici e costipazione naturale dei sedimenti (subsidenza naturale), compattazione dei sedimenti più superficiali a fondo mare per effetto del peso della piattaforma. Quest'ultimo fenomeno è evidente soprattutto nel periodo immediatamente successivo all'installazione della piattaforma stessa.



la registrazione del CGPS), un periodo di chiusura dei pozzi e infine la ripresa della produzione a partire da giugno 2011.

Durante la chiusura dei pozzi il CGPS ha misurato una velocità media d'abbassamento del fondale marino in corrispondenza della piattaforma pari a ca. 0,9 mm/a: data la lunghezza di tale periodo di chiusura (8 anni circa), detto valore si può considerare come quello della velocità di subsidenza naturale in quell'area.

Per poter confrontare in modo omogeneo le previsioni del modello geomeccanico del dicembre 2013 con i valori di subsidenza rilevati dal CGPS, tale componente naturale è stata sottratta a quest'ultimi. Il confronto è mostrato in Figura 12 per gli scenari medio e upper di detto modello. Si può osservare come le simulazioni riproducano con buona approssimazione l'andamento della subsidenza rilevata dalla stazione CGPS, confermando così l'attendibilità delle previsioni formulate.

Al fine di monitorare la compattazione profonda del giacimento, si è proceduto anche per il 2014 al rilievo dei marker installati nel pozzo di Naomi 4D. Le precedenti registrazioni con la sonda FSMT (Formation Subsidence Monitoring Tool) sono state fatte al 06/2001, 05/2002, 03/2011, 04/2012. Anche nel dicembre 2013 si era effettuato un survey, le cui misure, tuttavia, erano risultate caratterizzate da una deviazione standard così elevata da inficiarne l'attendibilità complessiva. In Figura 13 sono riportati, pertanto, i risultati delle misure FSMT (espressi in mm) tra il primo e il secondo rilievo (rispettivamente del giugno 2001 e del maggio 2002), tra il secondo e il terzo rilievo (maggio 2002 - marzo 2011), tra il terzo e il quarto rilievo (marzo 2011 - aprile 2012), tra il quarto e il sesto rilievo (aprile 2012 - giugno 2014).

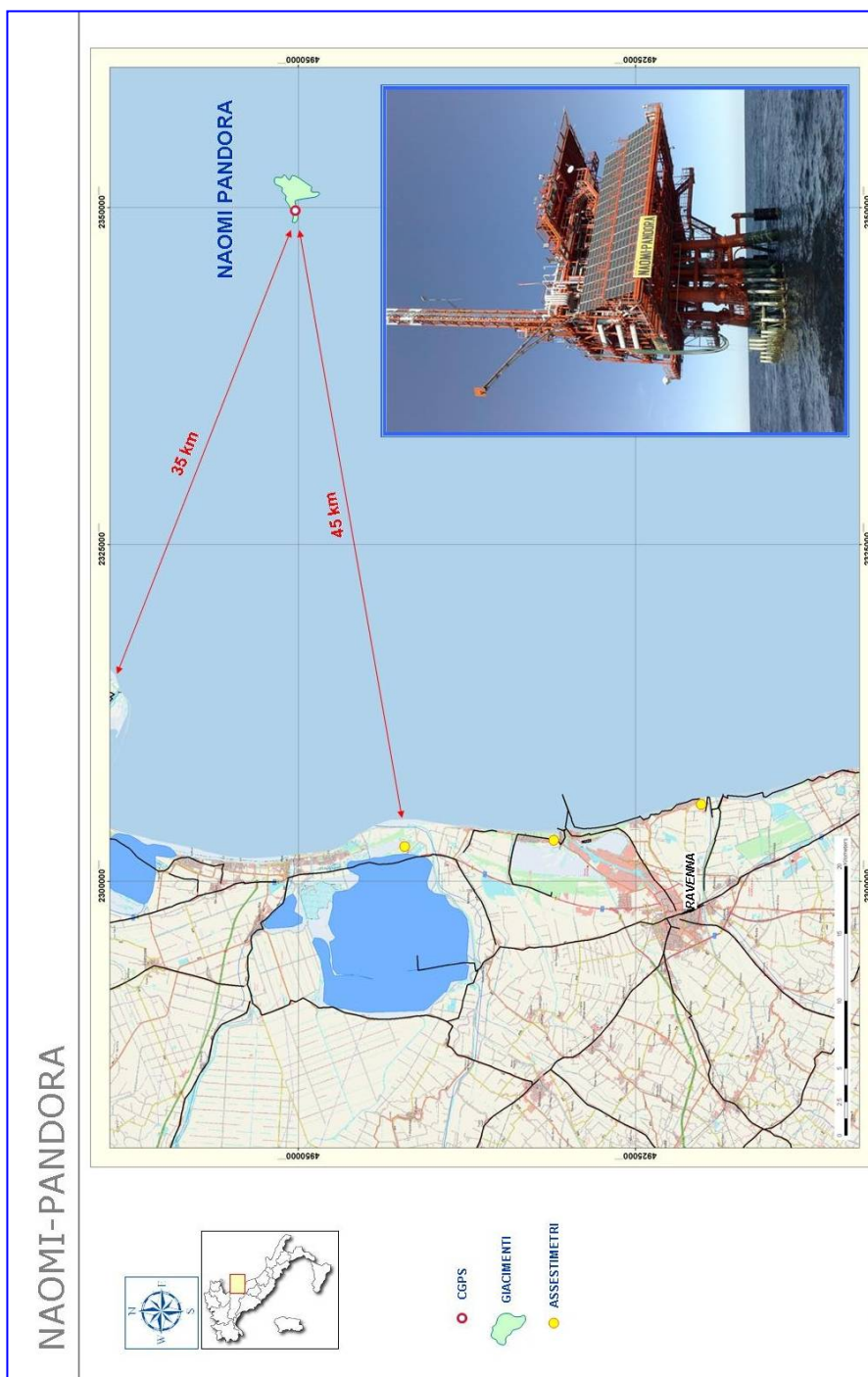
Le misure eseguite nel pozzo Naomi 4dir su un tratto di formazione di circa 60 m (3083.9 m e 3140.8 m - si tenga presente che gli intervalli monitorati risultano parzialmente sovrapposti) forniscono, per l'intervallo temporale 2001÷2014, una compattazione totale media di circa 9 mm. Al fine di verificare le previsioni modellistiche, tale valore misurato è stato confrontato con quello calcolato dal modello geomeccanico (dicembre 2013) e che è compreso tra i 15 mm dello scenario medio e i 38 mm dello scenario upper. La sovrastima della compattazione totale media calcolata rispetto a quella misurata si riflette ovviamente nella previsione modellistica di subsidenza, che così viene a essere del tutto cautelativa.

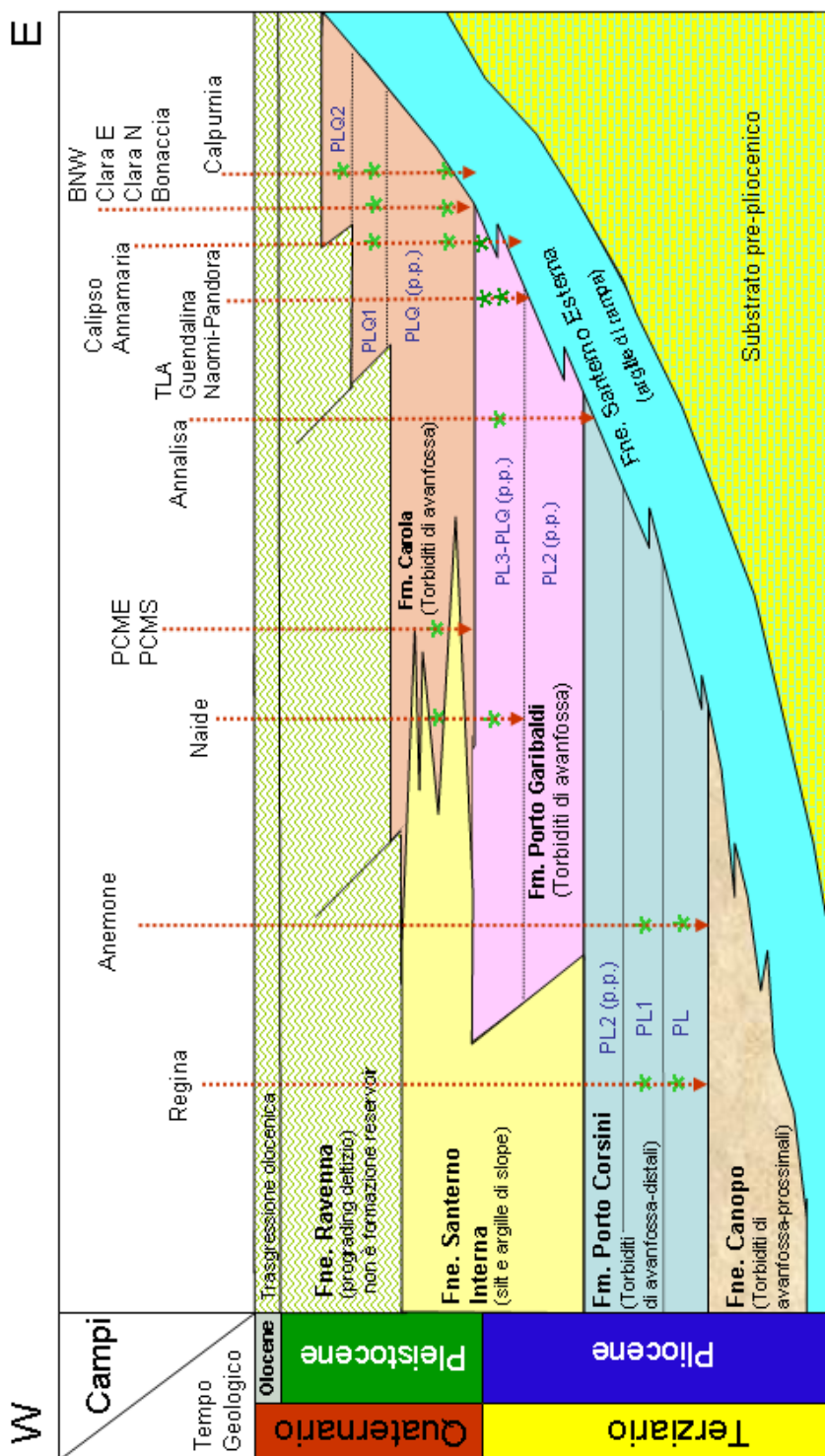


In sintesi, le indicazioni del modello previsionale di subsidenza e i monitoraggi fatti da Eni hanno confermato come eventuali fenomeni di subsidenza connessi alla produzione di gas dal campo di Naomi-Pandora siano di piccola entità e, soprattutto, non abbiano alcun impatto sull'andamento altimetrico del tratto di costa antistante.

Si segnala infine che:

- a) in Figura 14 viene presentata una scheda riassuntiva con i dati di campo e lo status dei monitoraggi;
- b) in Figura 15 viene presentato un particolare della rete di monitoraggio Eni.





Bacino Adriatico settentrionale: esempio di schema dei rapporti stratigrafici e dei principali reservoir (*) sviluppati dai campi.

Figura 3 – Schema dei rapporti stratigrafici



CAMPO DI NAOMI PANDORA	Profilo di Produzione calcolato da Modello ECLIPSE 3D 08/2011	Profilo di Produzione calcolato da Modello ECLIPSE 3D 12/2013	Profilo di Produzione calcolato da Modello ECLIPSE 3D 08/2011	Profilo di Produzione calcolato da Modello ECLIPSE 3D 12/2013	Percentuale Gas Prodotto VS Riserve calcolate da ECLIPSE 12/2013	Gas Prodotto reale al 31-12-2014	Gas Prodotto reale al 31-12-2014
	(Cumulativa)	(Cumulativa)	(Produzione anno)	(Produzione anno)		(Cumulativa)	(Produzione anno)
ANNO	M Sm3	M Sm3	M Sm3	M Sm3		M Sm3	M Sm3
2000	0	0	0	0			
2001	48	48	48	48	2%	48	48
2002	171	174	123	123	7%	174	123
2003	183	183	12	12	8%	183	12
2004	183	183	0	0	8%	183	0
2005	183	183	0	0	8%	183	0
2006	183	183	0	0	8%	183	0
2007	183	183	0	0	8%	183	0
2008	183	183	0	0	8%	183	0
2009	183	183	0	0	8%	183	0
2010	183	183	0	0	8%	183	0
2011	224	225	41	43	10%	225	43
2012	372	358	148	133	16%	358	133
2013	552	543	180	185	24%	544	186
2014	725	714	174	171	31%	706	162
2015	884	877	159	163			
2016	1028	1028	144	151			
2017	1157	1165	129	136			
2018	1282	1286	125	121			
2019	1402	1395	119	109			
2020	1511	1494	109	98			
2021	1605	1583	94	89			
2022	1697	1664	92	81			
2023	1786	1739	89	74			
2024	1868	1806	82	68			
2025	1942	1867	74	61			
2026	2006	1921	64	54			
2027	2063	1971	56	50			
2028	2110	2017	47	46			
2029	2151	2061	41	43			
2030	2186	2101	35	40			
2031	2219	2136	33	35			
2032	2250	2168	31	32			
2033	2280	2198	31	30			
2034	2308	2226	27	28			
2035	2332	2252	25	26			
2036	2350	2277	18	25			
2037		2301		23			

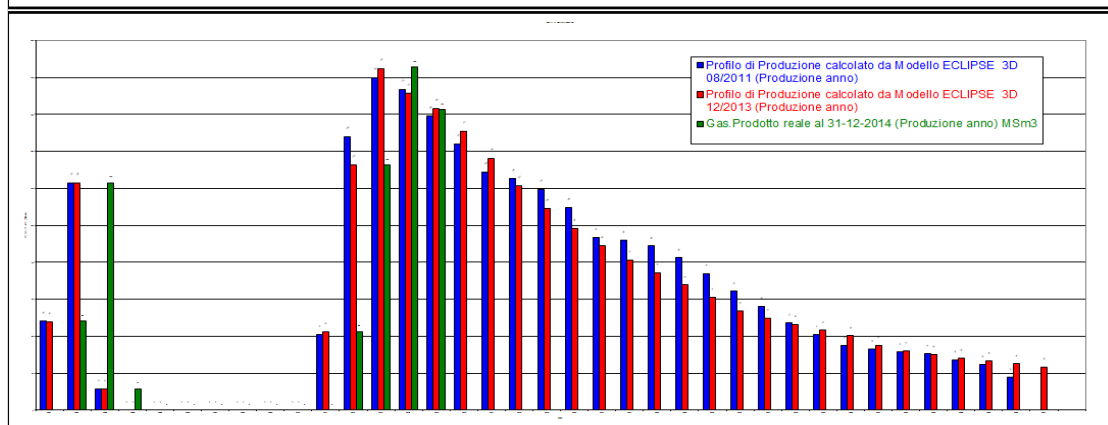
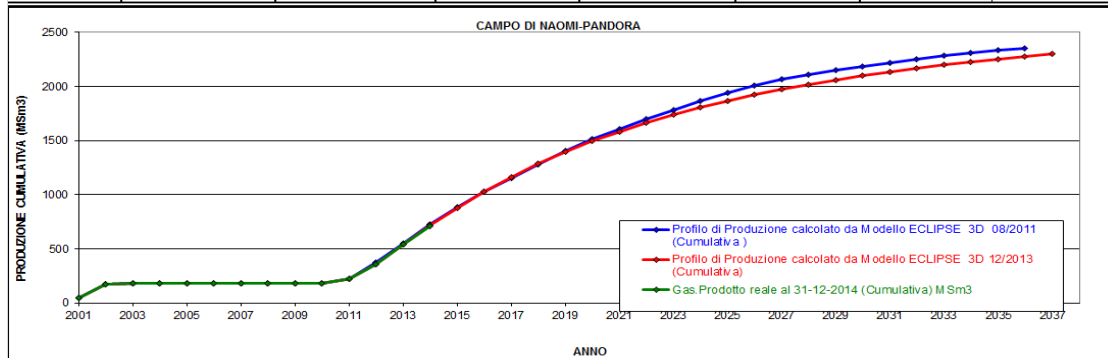


Figura 4 – Campo di Naomi-Pandora: profili di produzione vs. modelli Eclipse

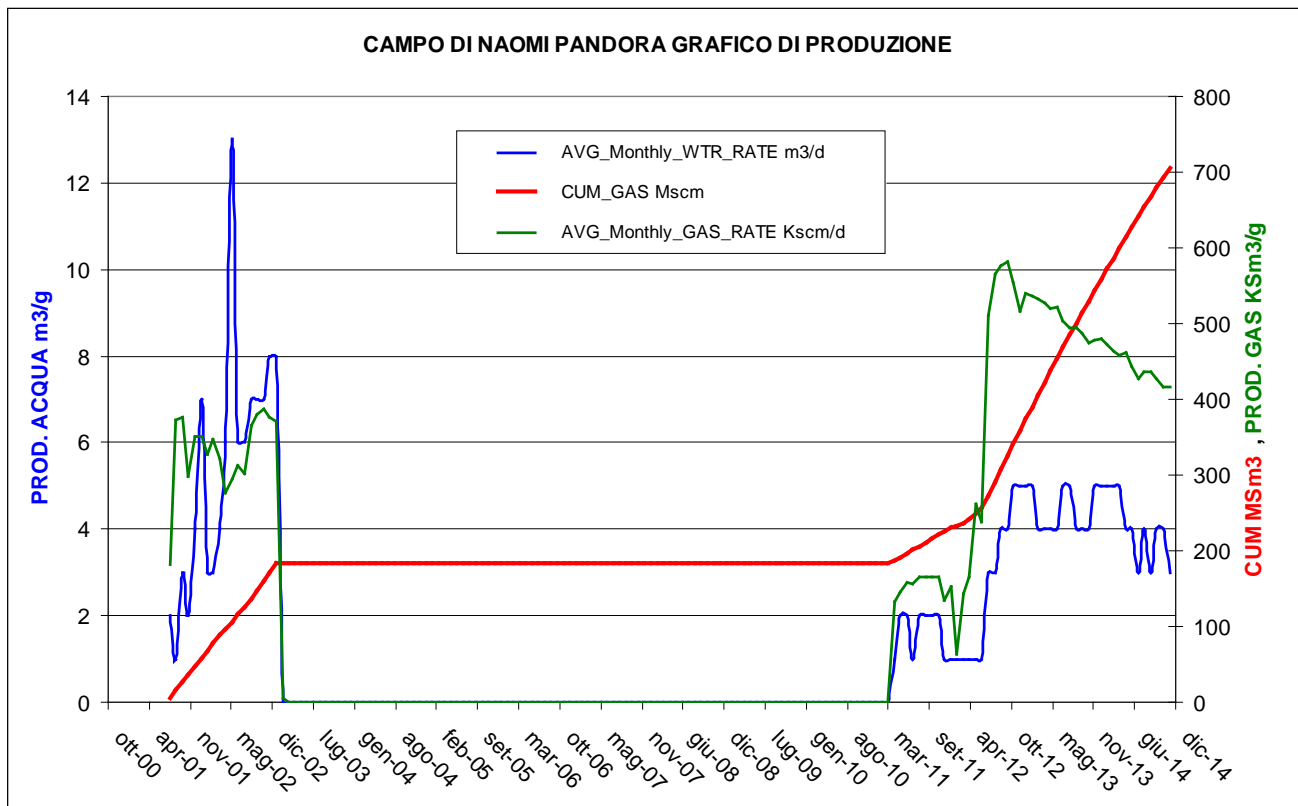


Figura 5 – Campo di Naomi-Pandora: grafico della produzione storica



Profilo di produzione calcolato da modello ECLIPSE 3D 12/2013	SBHP calcolata da modello ECLIPSE 3D 12/2013	SBHP Pandora 2 dirA Misurata da profilo statico	SBHP Naomi 3c dirA Misurata da profilo statico
PL3-H1	PL3-H1	PL3-H1	PL3-H1
M3MS	Barsa	Barsa	Barsa
0.0	285		300
0.0	285		
2.9	283		
8.8	290		
14.5	288		
42.4	281		
46.4	281		
49.6	281		
53.2	280		
57.9	279		
62.2	278		
66.4	275	268	
70.4	273		
74.4	271		
78.4	270		
82.4	268		
82.4	272		
82.4	273		
82.4	278		
82.4	278		
82.4	278		
82.4	278		
82.4	278		
82.4	279		
82.4	279		
82.4	279		
82.4	279		
82.4	279		
82.4	279		
82.4	279		
82.4	279		
82.4	279	281	
82.4	279		
82.4	279		
95.6	273		
100.4	271		
105.6	270		
110.5	269		
124.8	266		
129.5	265		
131.4	266		
135.8	264		
140.2	263	267	
144.9	262		
149.0	262		
212.3	245		
264.6	236		
275.0	234		
335.2	225		224
345.2	223		
403.3	215		
413.2	213		
452.4	208		
462.4	206		
471.4	205		
481.3	204		
490.9	203		
500.9	201		
550.0	194		
559.7	193		
569.6	192		
633.6	178		
739.6	165		
885.7	155		
972.9	146		
1052.5	138		
1125.1	131		
1191.7	124		
1253.2	119		
1310.1	113		
1362.6	108		
1411.4	104		
1456.6	100		
1499.8	96		
1538.0	92		
1574.5	89		
1608.7	86		
1640.7	83		
1670.6	81		
1698.8	78		
1725.3	76		
1750.2	74		
1773.7	72		
1773.7	76		
1773.7	77		
1773.7	78		
1773.7	79		
1773.7	79		
1773.7	80		
1773.7	81		
1773.7	83		
1773.7	84		
1773.7	85		
1773.7	86		
1773.7	87		
1773.7	88		

DATA	SBHP Misurata da profilo statico	SBHP Misurata da profilo statico
	Barsa	Barsa
	Pandora 2 dirA	NAOMI 3c dirA
01/08/01		300
01/05/2002	268	
19/03/2011	281	
01/07/2012	267	
01/06/2014		224

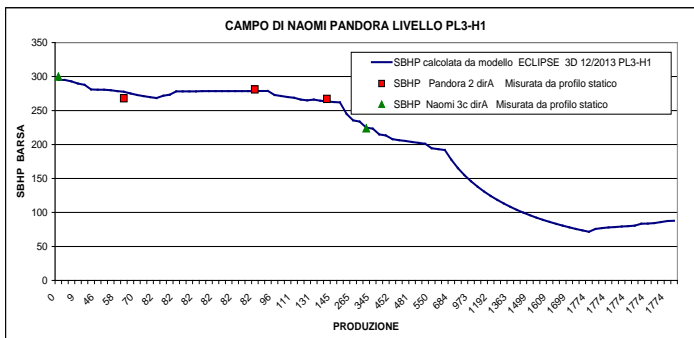


Figura 6 - Campo di Naomi-Pandora: confronto tra dati di pressione da profili statici e modello Eclipse (liv. PL3-H1)

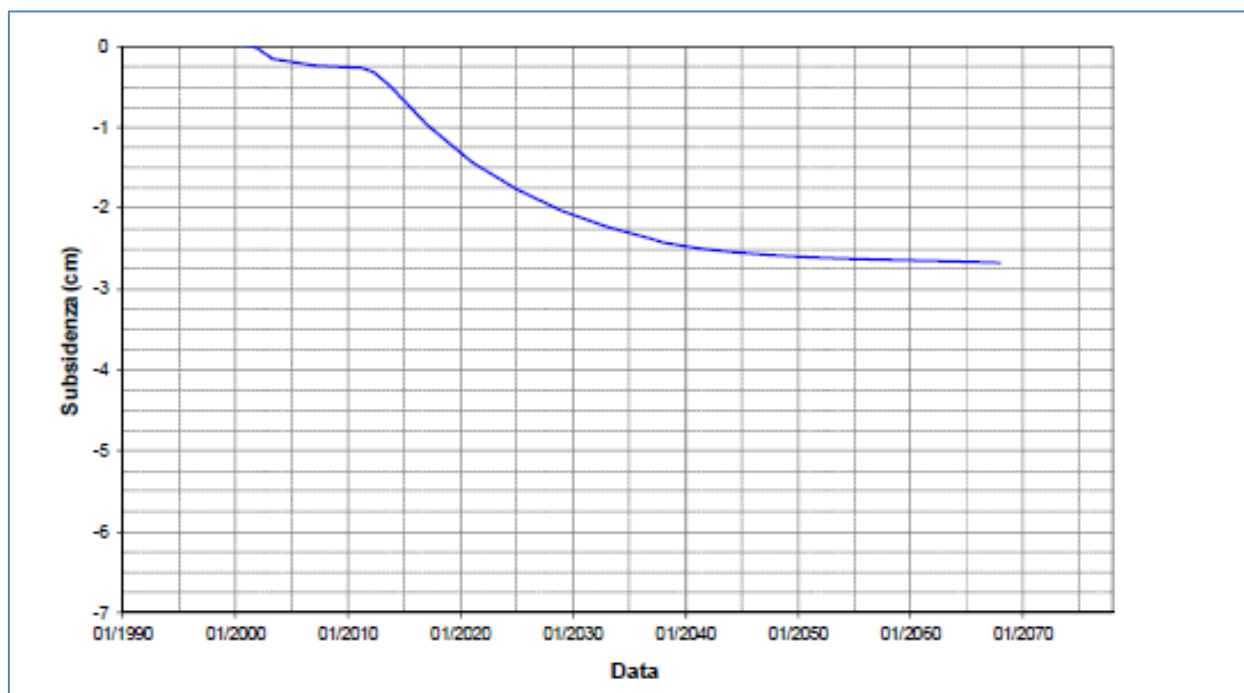


Figura 7 – Campo di Naomi-Pandora: scenario Medio-evoluzione nel tempo de valore di subsidenza nel punto di massimo

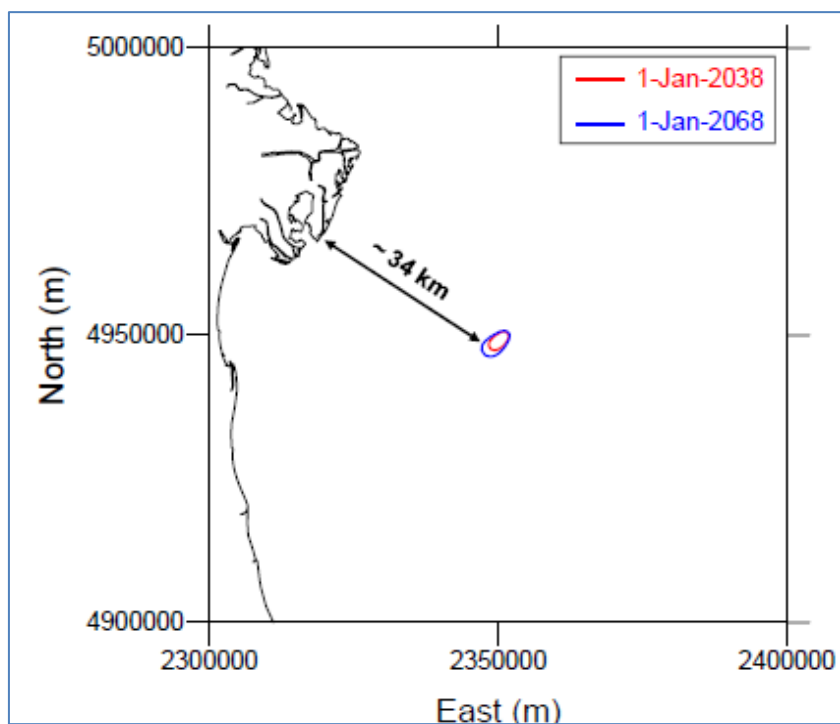


Figura 8 – Campo di Naomi-Pandora: evoluzione temporale della linea d'isosubsidenza dei 2 cm per lo scenario Medio

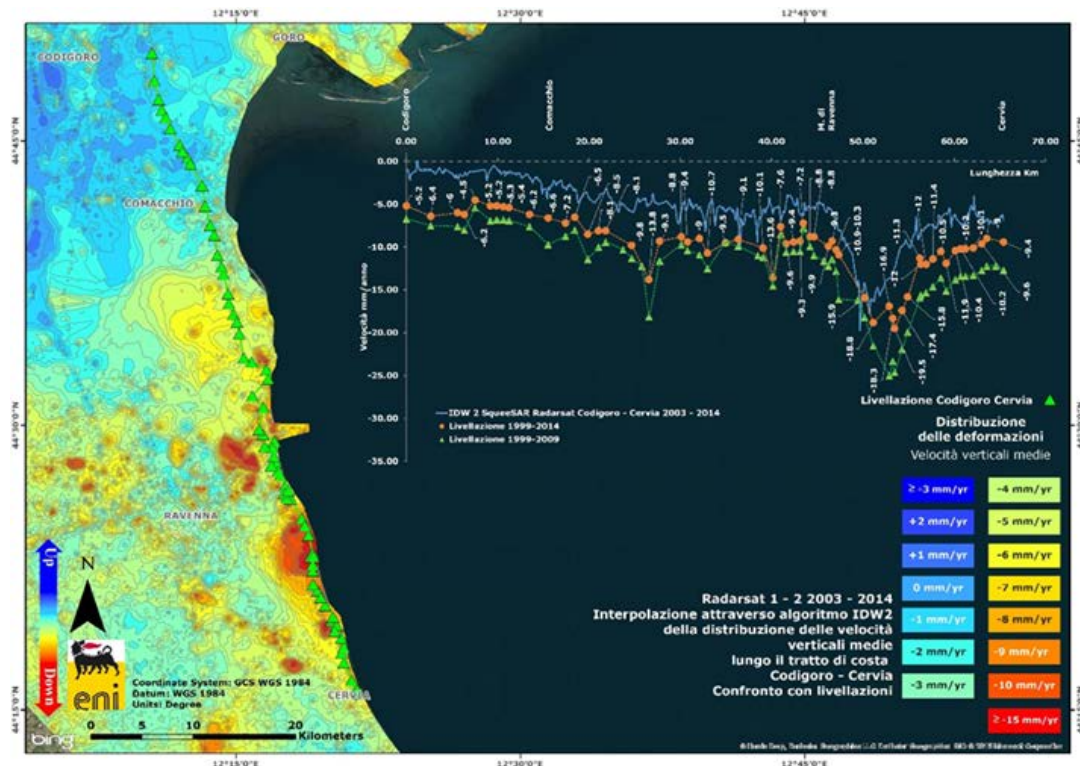
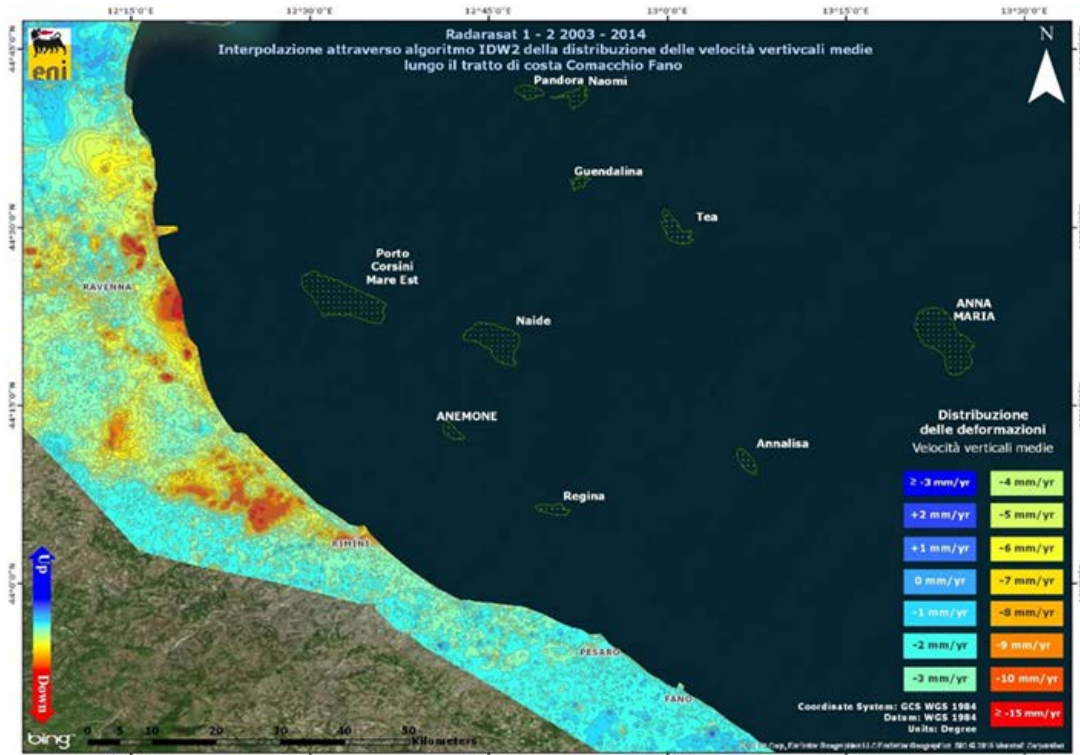


Figura 9 – Analisi dei dati SAR_2003-2014

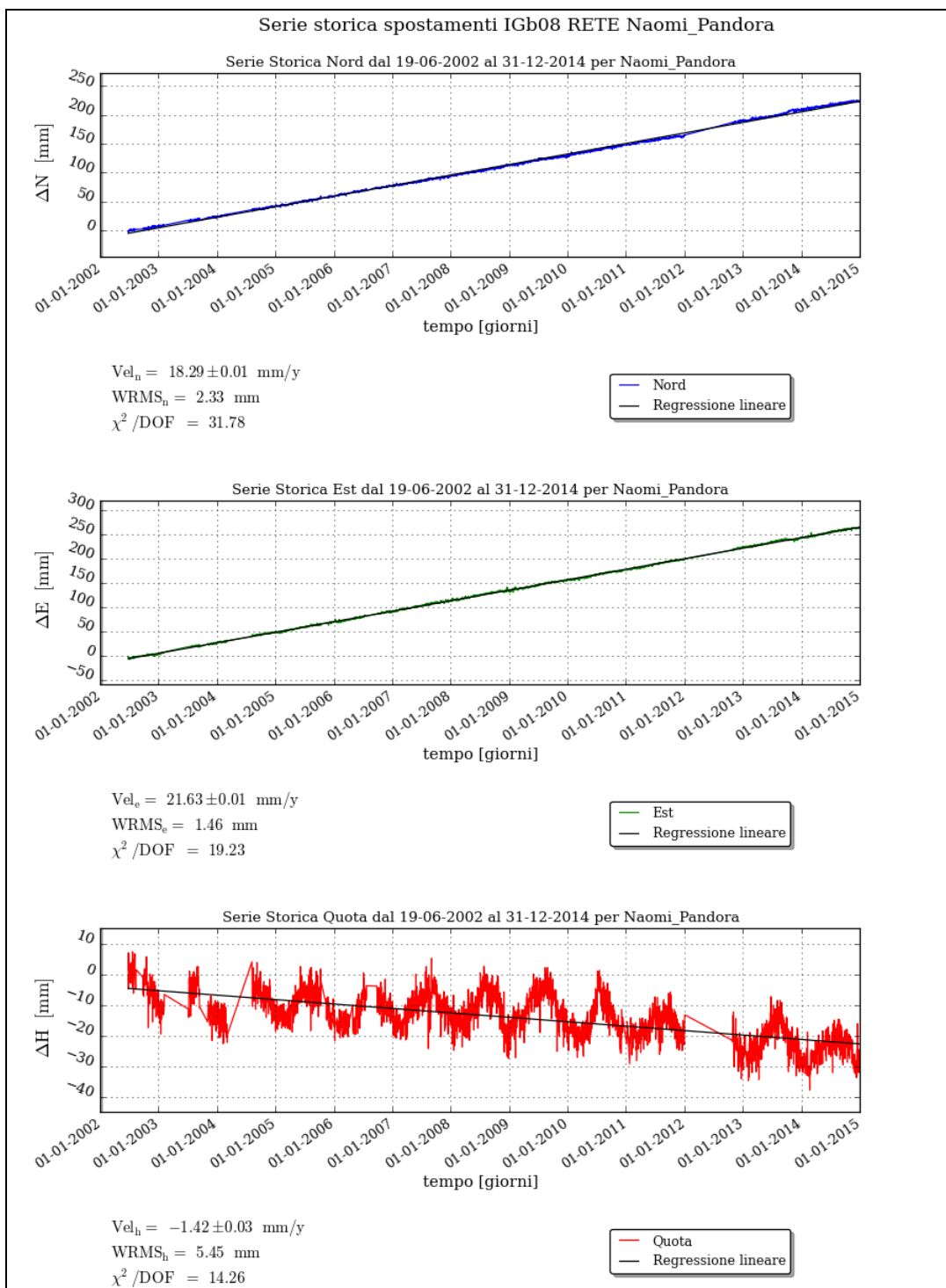


Figura 10 – Campo di Naomi-Pandora: serie storiche plano-altimetriche



CAMPO	Inizio produzione	Fine Produzione	Riserve prodotte @ dic.2014	Subsidenza prevista a fine produzione (scenario di riferimento)	CGPS		
					inizio registrazione	velocità media (mm/a) @ fine 2014;	mesi di registrazione
NAIDE	2005	2022	81%	-8cm al 2023	giu-05	-3,8	114
PCM	2001	2016	94%	-6,8cm al 2017	lug-05	-3,9	113
REGINA	1997	2016	91%	-135cm al 2014	giu-07	-29,4	90
CALPURNIA	2000	2020	95%	-50cm al 2035	giu-07	-4,5	90
ANEMONE	1978	2026	95%	-33cm al 2020	giu-07	-4,9	90
ANNALISA	2000	2023	83%	-10cm al 2027	ott-07	-4,7	87
CLARA EST	2000	2034	35%	-55cm al 2035	nov-07	-13,5	86
CLARA NORD	2000	2020	80%	-65cm al 2035	nov-07	-22,5	86
BARBARA-NW	1999	2029	70%	-76cm al 2030	gen-08	-28,7	84
CALIPSO	2002	2020	87%	-32cm al 2035	nov-07	-17,8	86
ANNAMARIA "B"	2009	2039	32.6%	-51cm al 2040	gen-10	-81,0	60
BONACCIA	1999	2035	57%	-421cm al 2036	dic-07	-87,2	85
GUENDALINA	2011	2023	55%	-3cm al 2023	ago-11	-6,4	40
NAOMI-PANDORA	2001	2037	31%	-2cm al 2038	giu-02	-1,4	150
TEA-LAVANDA-ARNICA	2007	2019	93%	-3cm al 2020	nov-07	-5,0	86
FAUZIA	2014	2027	3%	-9cm al 2030	set-14	nd	3
ELETTRA	2014	2025	12%	-16cm al 2035	lug-14	nd	5

Figura 1 - Velocità Velocità medie di “subsidenza totale” calcolate per tutta la serie storica di dati CGPS vs. modelli

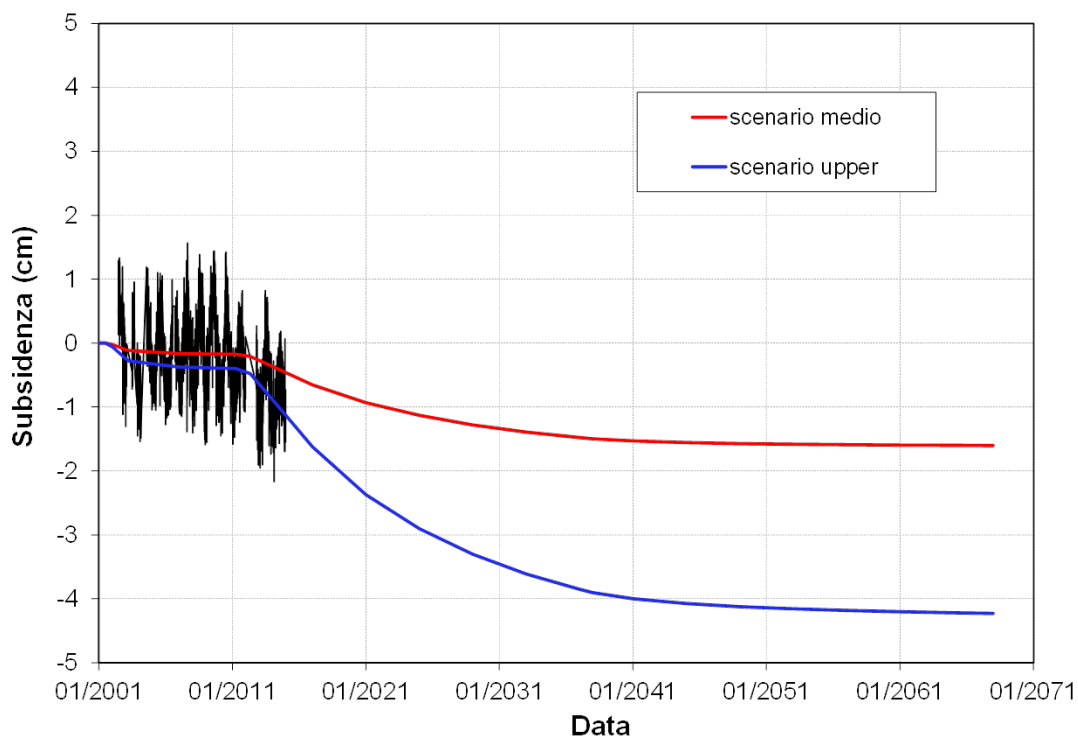


Figura 2 – Campo di Naomi-Pandora: misure CGPS (agg. 31 dic. 2014) vs. modello di subsidenza (in corrispondenza della piattaforma)



Compattazione Naomi-Pandora							
spacing #	top ref depth	bottom ref depth	May 2002	Mar 2011	Apr 2012	Jun 2014	Jun 2014
	MD	MD	Jun 2001	May 2002	Mar 2011	Apr 2012	Jun 2001
	m	m	mm	mm	mm	mm	mm
10	3083.90	3092.30	-3	-1	-2	4	-3
9	3089.00	3099.30	-3	2	-1	5	3
8	3092.30	3104.10	-1	-10	13	-2	0
7	3099.30	3109.30	-2	2	8	-6	1
6	3104.10	3115.30	-5	4	-4	-6	-11
5	3109.30	3120.30	-5	4	0	0	0
4	3115.30	3125.50	-3	-2	5	-5	-5
3	3120.30	3130.70	-4	4	2	-2	0
2	3125.50	3135.80	-4	2	-2	3	-1
1	3130.70	3140.80	-1	4	-6	2	-1

Figura 3 – Campo di Naomi-Pandora: compattazione da marker (pozzo Naomi 4 dir)

campo NAOMI-PANDORA (Eni 100%)			
DATI DI CAMPO		DEC.VIA n. 5369 del 04 ottobre 2000	
UBICAZIONE	offshore - 35 Km dalla costa	AGGIORNAMENTO MODELLO DI GIACIMENTO E SUBSIDENZA (NAOMI-PANDORA)	
PROFONDITA' FONDALE	35-38 m		
LITOLOGIA	terreni pliocenici sup. sabbioso/argillosi	SIA	ULTIMO AGGIORNAMENTO
FORMAZIONE RESERVOIR	Porto Garibaldi	STUDIO DI GIACIMENTO	Mod. monocella "febbraio '98"
ZONA MINERARIA	PL3	RISERVE (MSm3)	1611
PROFONDITA' RESERVOIR	2600 - 2680 (TVDS)	MOD. GEOMECCANICO	GEERTSMA SEMIANALITICO
TIPO DI PIATTAFORMA	fissa monotubolare- BEAF	MAX SUBS AL CENTRO (cm)	1.8 (dopo 7 anni)
CARATTERISTICHE GEOLOGICHE	torbiditi sottili	MAX DIST. DAL CULMINE (Km)	nd
	D.M @ ottobre '00 @ 31 dic 2014		3 (nel 2068 a fine simul.) - caso Medio
			3km a fine simulazione (2068)
STATUS ATTUALE DEI MONITORAGGI			
CONCESSIONE	A.C33.AG	LIVELLAZIONI	ACQUISITI I DATI DI LIVELLAZIONE SUL TRATTO DI COSTA (DORSALE ADRIATICA) ANTISTANTE I CAMPI NEL PERIODO 1998-2009, 2011 e 2014.
DATA SCADENZA CONCESSIONE	26/01/2016	MARKERS	MARKERS SU NAOMI 4D: ULTIMO SURVEY @ giugno 2014
N. POZZI	3 + 1 markers 5+ 1 markers	CGPS	OPERATIVO DAL GIUGNO 2002
RISERVE TECNICHE A VITA INTERA (MSm3)	1611 2301	SAR	ACQUISITO AGGIORNAMENTO COPERTURA SAR @ SETT.2014 DEL TRATTO DI COSTA ANTISTANTE LA PIATTAFORMA PER ANALISI INTEGRATA DEI DATI ALTIMETRICI E PER L'INSERIMENTO DEI CAMPI DI TLA NEL PROGRAMMA DI MONITORAGGIO DELLA SUBSIDENZA ATTUALMENTE IN CORSO IN MOLTI GIACIMENTI DELL'ADRIATICO
START UP PRODUZIONE	ago-01		
FINE PRODUZIONE PREVISTA	2017 2038		
GAS PRODOTTO (MSm3)	706		
% RISERVE PRODOTTE	31%		

Figura 4 – Campo di Naomi-Pandora: scheda di sintesi dati campo



Figura 5 - Particolare della rete di monitoraggio Eni



Appendice 1: aggiornamento dati SAR 2003-2014

L'analisi dei dati SAR ha interessato complessivamente tre data-set (Fig.1A) suddivisi geograficamente in:

1. Area di Ravenna da Porto Tolle a Cervia;
2. Area di Rimini da Cervia a Cattolica;
3. Area di Ancona da Cattolica a Civitanova Marche.

In tali aree, che presentano una piccola zona di sovrapposizione sufficiente a garantire continuità nei dati, sono ubicate le seguenti stazioni CGPS della rete Eni:

- Area di Ravenna: stazioni di Manara, di Smarlacca, di Spinaroni e di Fiumi Uniti;
- Area di Rimini: stazione di Rubicone;
- Area di Ancona: stazioni di Fano e di Falconara.

La calibrazione dei dati SAR è stata fatta con le misure CGPS acquisite nelle stazioni poste all'interno delle aree analizzate, partendo da quelle con la serie storica di dati più consistente (Smarlacca, Spinaroni e Fiumi Uniti dell'area di Ravenna).

Per il processo di calibrazione si è impiegata la misura della componente verticale della velocità d'abbassamento del suolo dell'area SAR più a nord (area ravennate), utilizzando in particolare le misure della stazione di Smarlacca. I dati acquisiti a Fiumi Uniti, a Spinaroni e in tutte le altre stazioni sono stati impiegati esclusivamente per la verifica dei risultati ottenuti.

L'analisi e il confronto dei SAR, non calibrati e acquisiti in un'area circolare (raggio di circa 150 m) intorno alla stazione CGPS di Smarlacca, hanno mostrato come questi sottostimino di -3,0 mm/a la componente verticale della velocità media d'abbassamento rispetto alla misura CGPS; per tale motivo ai valori di detta velocità media ottenuti con la tecnologia SAR è stata applicata una correzione pari a -3,0 mm/a.

Si sono poi confrontati tali dati SAR con le misure dei CGPS di Manara, Smarlacca e Spinaroni considerando i punti SAR disponibili in un'area circolare (raggio pari a 200 m) intorno a

tali stazioni. Il confronto ha mostrato differenze inferiori a 1 mm/a tra le misure CGPS e i dati SAR calibrati, confermando la bontà della calibrazione effettuata.

Analogamente a quanto fatto anche negli anni precedenti, tutti gli altri data-set SAR, acquisiti a sud di quello dell'area ravennate, sono stati calibrati confrontando tra loro le componenti verticali della velocità d'abbassamento del suolo nelle rispettive aree di sovrapposizione. Tale confronto mostra mediamente una differenza di circa -3 mm/a in ognuno dei data-set analizzati. Detta differenza è stata ovviamente corretta nel processo di calibrazione.



Fig.1A – Mappa calibrazione dati SAR

Per verificare la correttezza di tutto il processo, sono state poi confrontate le velocità medie dei punti SAR, ricadenti in un raggio di 200 metri dalle postazioni CGPS di Fano e di Falconara (area di Ancona), con le velocità misurate dai CGPS anche se per periodi inferiori alla serie storica SAR. La differenza riscontrata è stata inferiore a 2 mm/a, valore che, considerata anche la diversa scala temporale, ricade nel campo d'errore strumentale di entrambi i sistemi di misura.

Nella zona situata nell'intorno della stazione CGPS di Rubicone (area SAR di Rimini), i dati SAR, mostrano un movimento verticale d'abbassamento fino al 2008 e di sostanziale stabilità poi per il periodo successivo. Le misure CGPS di detta stazione, installata nel dicembre 2007, confermano invece la sostanziale stabilità della zona a parità di osservazione temporale. Si può ritenere, quindi, che la differenza di velocità media riscontrata tra i dati SAR e quelli CGPS (pari a circa 2 mm) sia dovuta al diverso periodo di osservazione. Per tale motivo non si può fare un confronto diretto tra le velocità SAR e CGPS senza avere opportunamente definito i tempi di riferimento. Per controllare il trend regionale dell'intera area in esame, è stata fatta un'analisi delle differenze tra la mappa d'interpolazione dati del data-base 2003-2013 e la corrispondente mappa d'interpolazione dati del data-base 2003-2014 (per l'interpolazione si è impiegato l'algoritmo IDW – Inverse Distance Weighted in ambiente GIS). Come rappresentato nelle Fig. 2A e Fig. 3A, non ci sono evidenti differenze di valori per l'intera area, se non nella zona adiacente al porto di Ravenna, per la quale, dopo attenta analisi, si è riscontrata una mancanza di dati per la scarsa coerenza del segnale SAR. Ciò ha prodotto un artefatto numerico, privo di significato fisico, nelle relative mappe d'interpolazione.

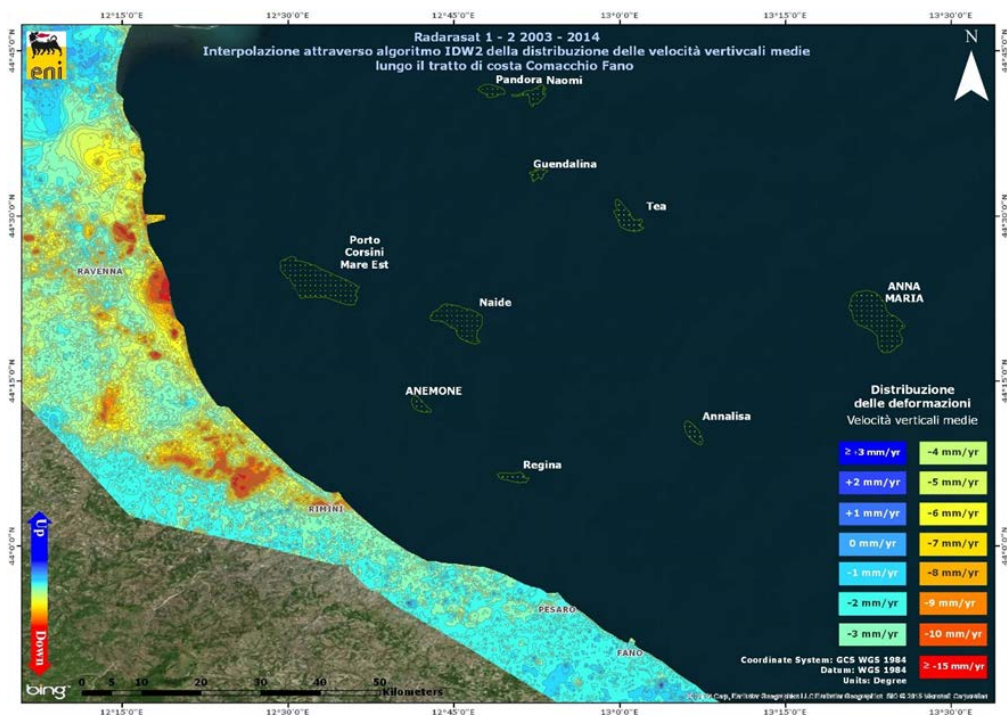


Fig. 2A – Tratto di costa da Comacchio a Fano: interpolazione IDW (Inverse Distance Weighted) dei dati Radarsat 1 -2 per il periodo 2003 – 2014 con il Tool Math – Spatial Analyst di ArcGIS

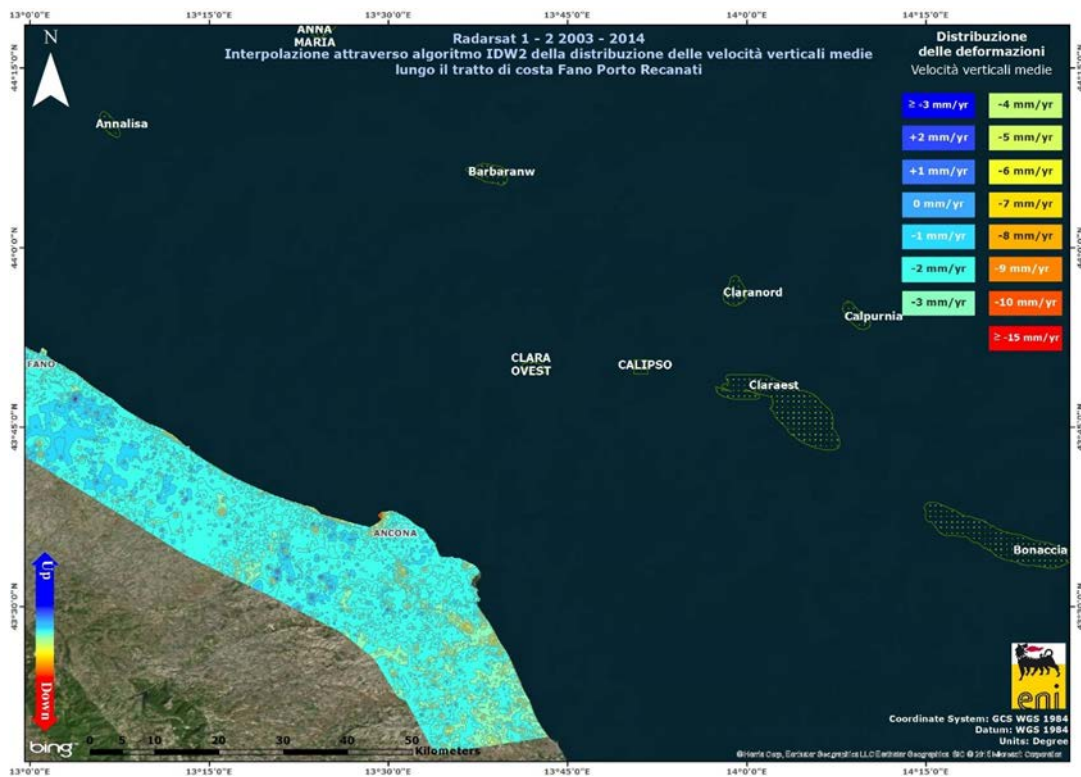


Fig. 3A – Tratto di costa da Fano a Porto Recanati: interpolazione IDW (Inverse Distance Weighted) dei dati Radarsat 1 -2 per il periodo 2003 – 2014 con il Tool Math – Spatial Analyst di ArcGIS

Confronto dati SAR 2003 – 2013 vs. 2003 – 2014

Utilizzando i dati interpolati per il periodo 2003 – 2013, è stato fatto un confronto con i corrispondenti dati del periodo 2003 – 2014, per individuare eventuali aree in cui si fosse verificato un aumento delle velocità di abbassamento del suolo.

Come mostrano le immagini di Fig. 4A e Fig. 5A non si notano sostanziali differenze fra i valori di velocità dei due data-set: gli scostamenti sono mediamente dell'ordine di circa 1 mm. L'unica zona per la quale si riscontrano differenze importanti, (dell'ordine di circa 10 mm), si trova a nord della città di Ravenna. Trattasi dell'area, di cui si è detto in precedenza e che non dispone di dati SAR. L'algoritmo d'interpolazione ha, quindi, generato "artifacts" privi di ogni significato fisico.

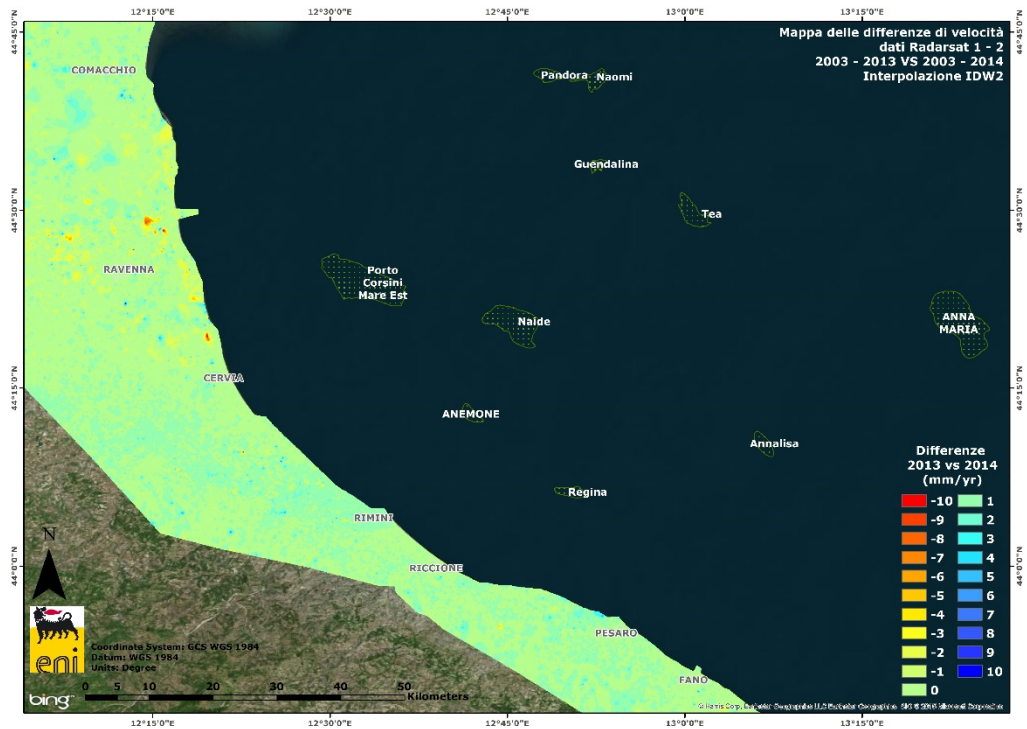


Fig. 4A – Tratto di costa da Comacchio a Fano: mappa delle differenze tra i database 2003-2013 e 2003-2014, utilizzando il Tool Math – Spatial Analyst di ArcGIS

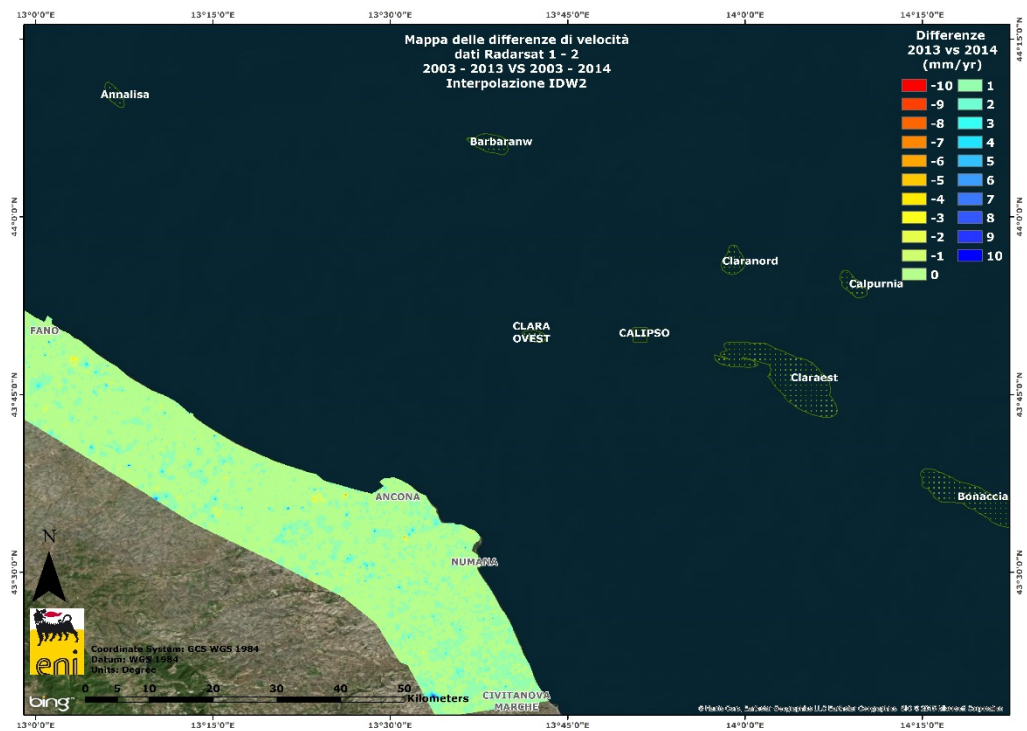


Fig. 5A – Tratto di costa da Fano a Porto Recanati: mappa delle differenze tra i database 2003-2013 e 2003-2014, utilizzando il Tool Math – Spatial Analyst di ArcGIS



Confronto dati SAR vs. Livellazione

Dal confronto SAR – livellazioni non emergono differenze: entrambi i metodi, considerando la loro deviazione standard, non presentano anomalie evidenti (Fig. 6A e 7A, 8A e 9A, 10A e 11A, 12A e 13A).

L'unico punto d'attenzione si ha nel tratto Cervia – Pesaro (Fig. 9A) dove, in corrispondenza della città di Rimini (al km 30 circa), si nota un valore negativo del dato SAR (-11,8 mm/a) che non è rilevato dalle campagne di livellazione del periodo 2009 – 2014. Tale anomalia è causata alla perdita di un caposaldo, il numero 00305400, che era disponibile nel periodo tra le campagne 1999 - 2009 e le cui misure erano in accordo con i dati SAR.

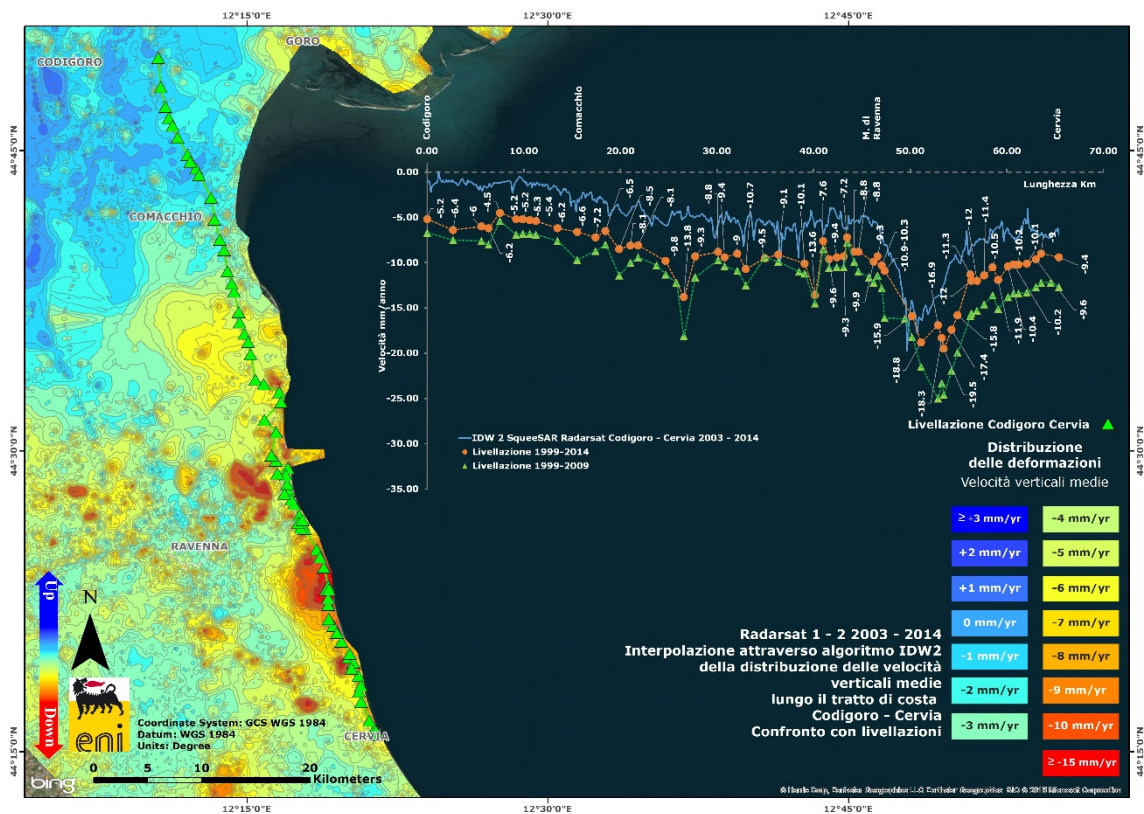


Fig. 6A – Tratto Codigoro – Cervia: confronto tra il database Radarsat 1-2 per il periodo 2003-2014 e le campagne di livellazione 1999-2009 e 1999-2014

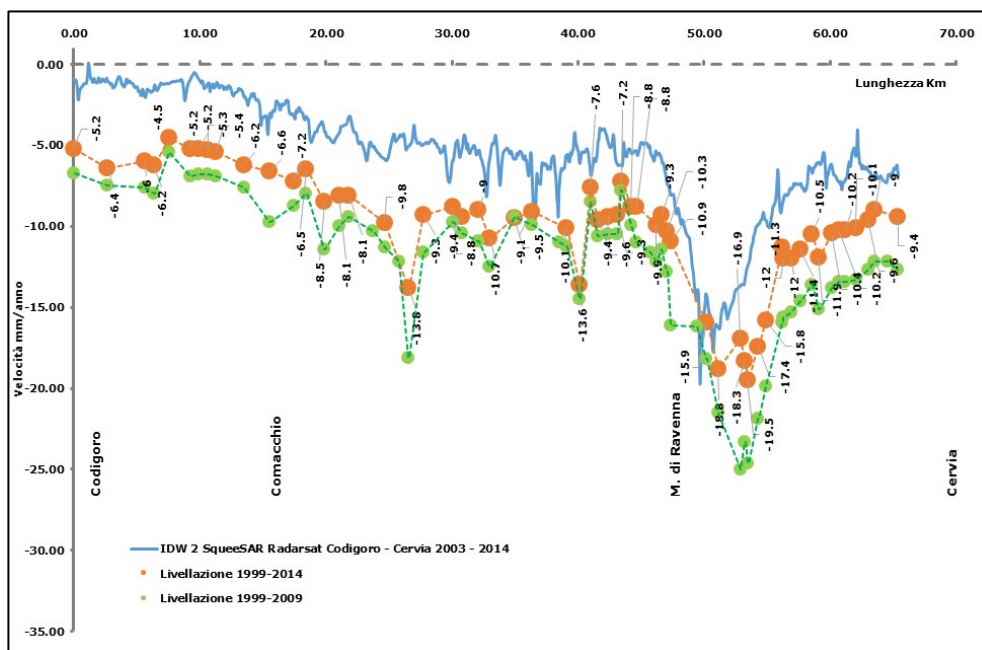


Fig. 7A – Tratto Codigoro – Cervia: dettaglio del grafico di confronto (Fig. 6A) tra il database Radarsat 1-2 (1999-2014) e le campagne di livellazione (1999-2014).
Non si osservano anomalie: i due metodi descrivono lo stesso andamento

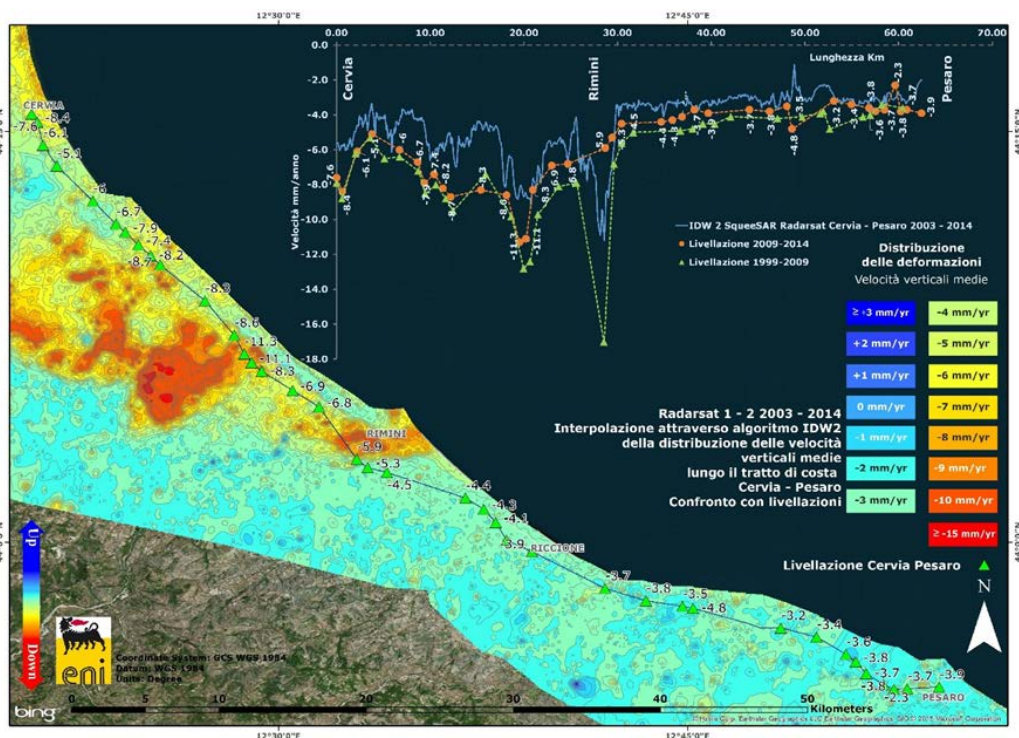


Fig. 8A – Tratto Cervia-Pesaro: confronto tra il database Radarsat 1-2 per il periodo 2003-2014 e le campagne di livellazione 1999-2009 e 2009-2014

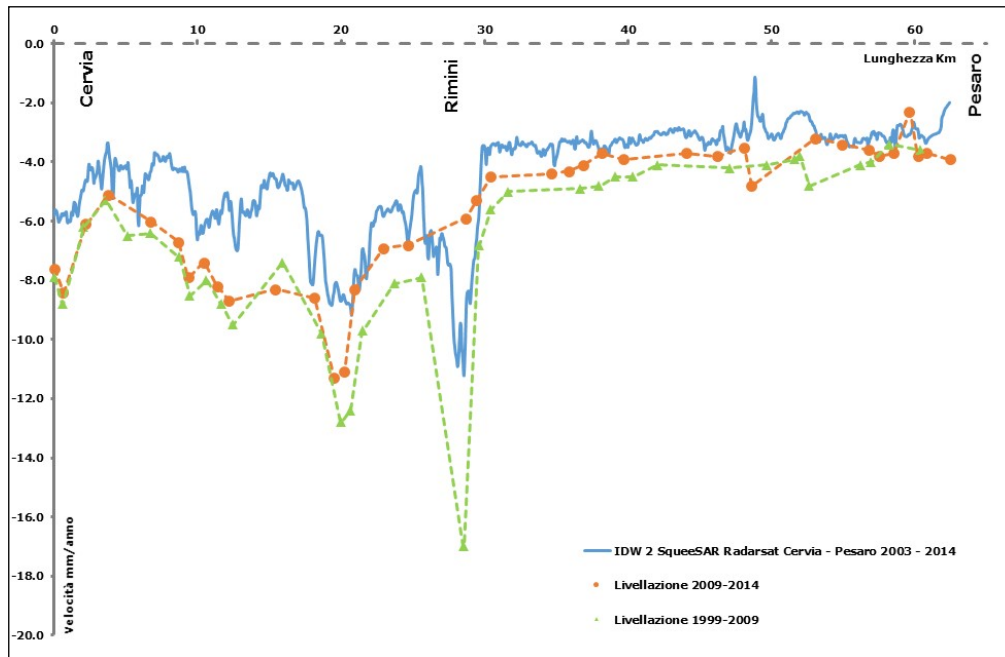


Fig. 9A – Tratto Cervia – Pesaro: dettaglio del grafico di confronto tra il database Radarsat 1-2 per il periodo 2003-2014 e le campagne di livellazione 1999-2009 e 2009-2014.

In corrispondenza di Rimini, si nota un abbassamento registrato dal SAR e dalle livellazioni del periodo 1999-2009, che, però, non compare nelle livellazioni del periodo 2009-2014.

Tale anomalia è da attribuirsi alla perdita del caposaldo 00305400

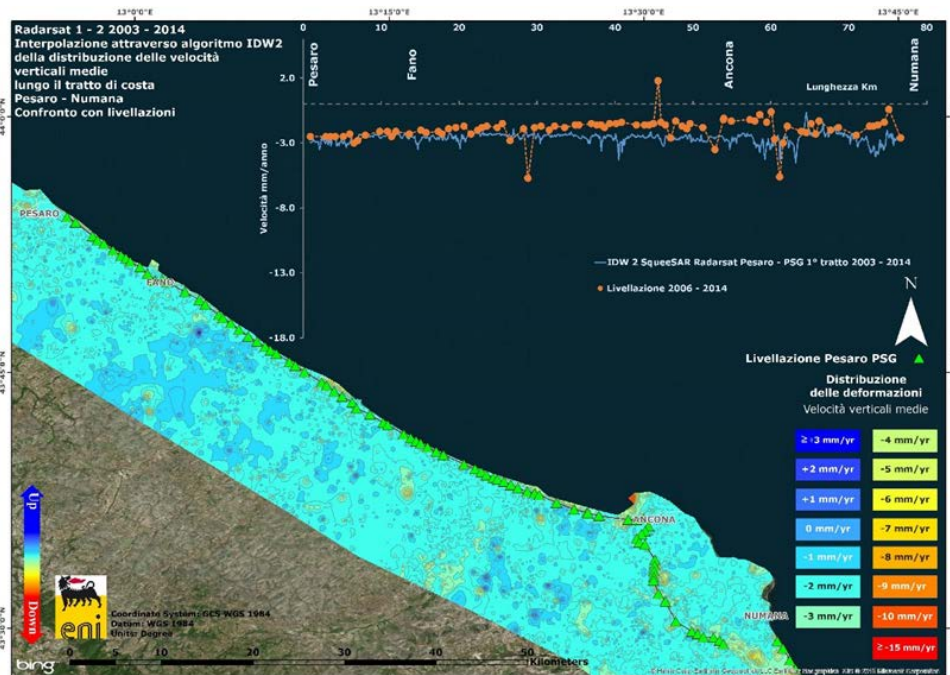


Fig. 10A – Tratto Pesaro – Numana: confronto tra il database Radarsat 1-2 per il periodo 2003-2014 e la campagna di livellazione 2006-2014

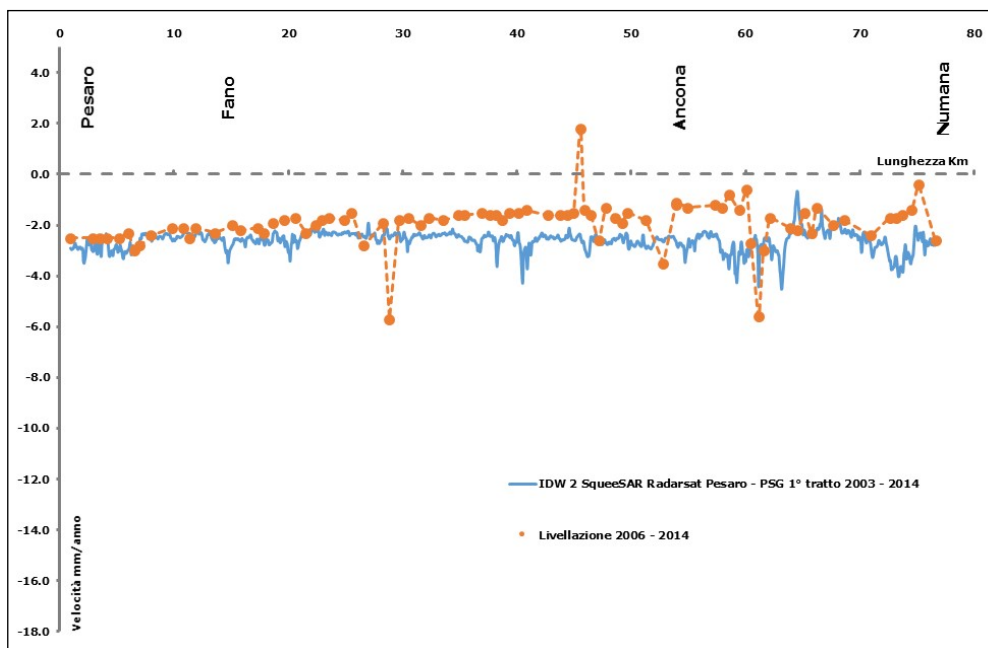


Fig. 11A – Tratto Pesaro – Numana: dettaglio del grafico di confronto tra il database Radarsat 1-2 per il periodo 2003-2014 e la campagna di livellazione 2006-2014.

Non si osservano anomalie: i due metodi descrivono lo stesso andamento

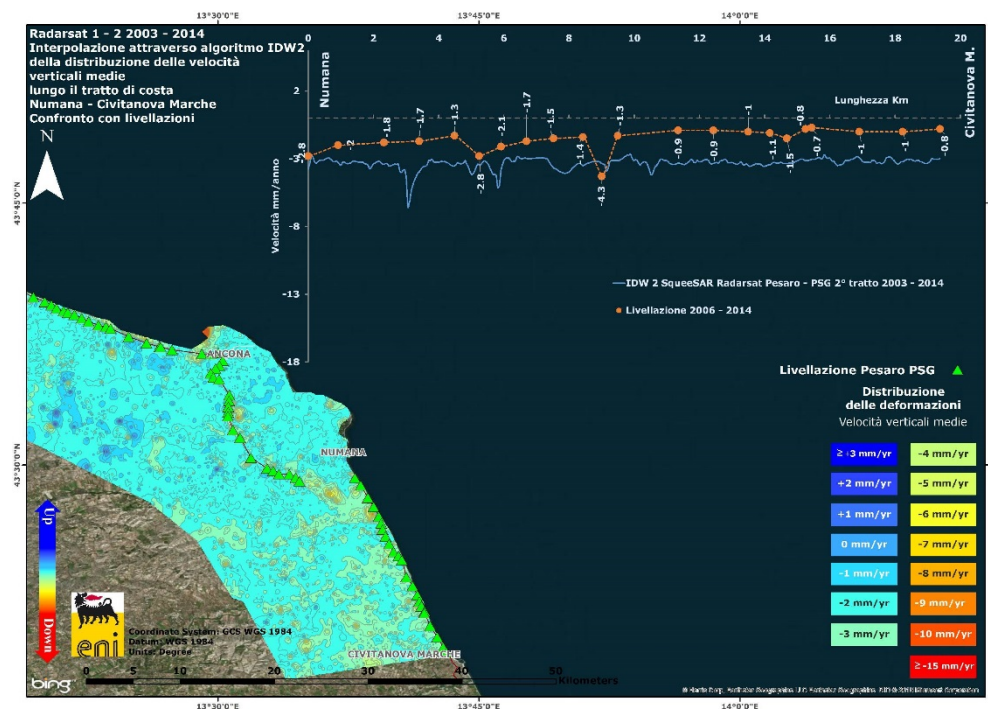


Fig. 12A – Tratto Numana – Civitanova Marche: confronto tra il database Radarsat 1-2 per il periodo 2003-2014 e la campagna di livellazione 2006-2014

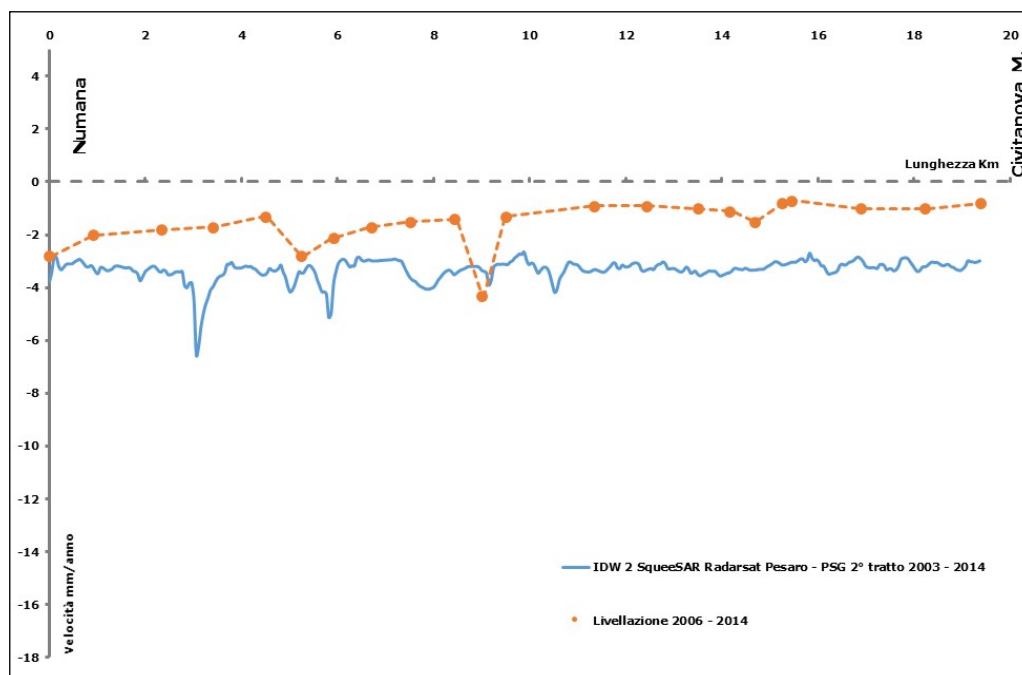


Fig. 13A – Tratto Numana – Civitanova Marche: dettaglio del grafico di confronto tra il database Radar-sat 1-2 per il periodo 2003-2014 e la campagna di livellazione 2006-2014. Non si notano anomalie: i due metodi descrivono lo stesso andamento

Appendice 2: stazioni EPSU lungo la fascia costiera compresa tra Comacchio e Cervia - aggiornamento dicembre 2014

Il monitoraggio della compattazione superficiale, lungo la fascia costiera adriatica compresa tra Comacchio e Cervia, è effettuato tramite 3 stazioni EPSU (Extensometric Piezometric Survey Unit) denominate: Smarlacca, Spinaroni e Fiumi Uniti. L'ubicazione di tali stazioni, installate tra il 1994 e il 1997, è riportata in figura 1B.

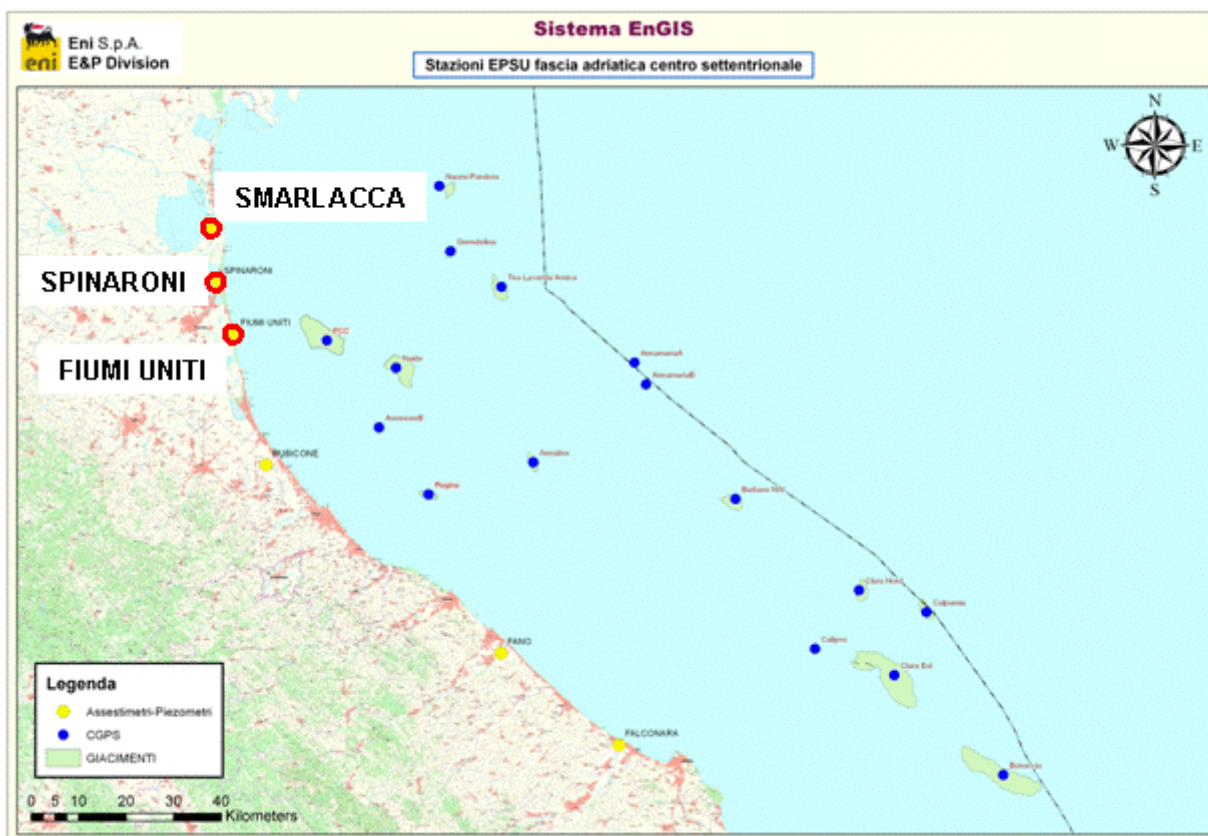


Figura 1B - Ubicazione delle stazioni EPSU

In generale una stazione EPSU è costituita da un assestometro, associato a uno o più piezometri, con il corredo di strumentazione meteorologica per la misura della temperatura e della pressione atmosferica (termometri sia in foro che in superficie, e un barometro in modo da compensare le misure assestometriche per le variazioni della temperatura e pressione atmosferica) come schematicamente rappresentato in figura 2B.

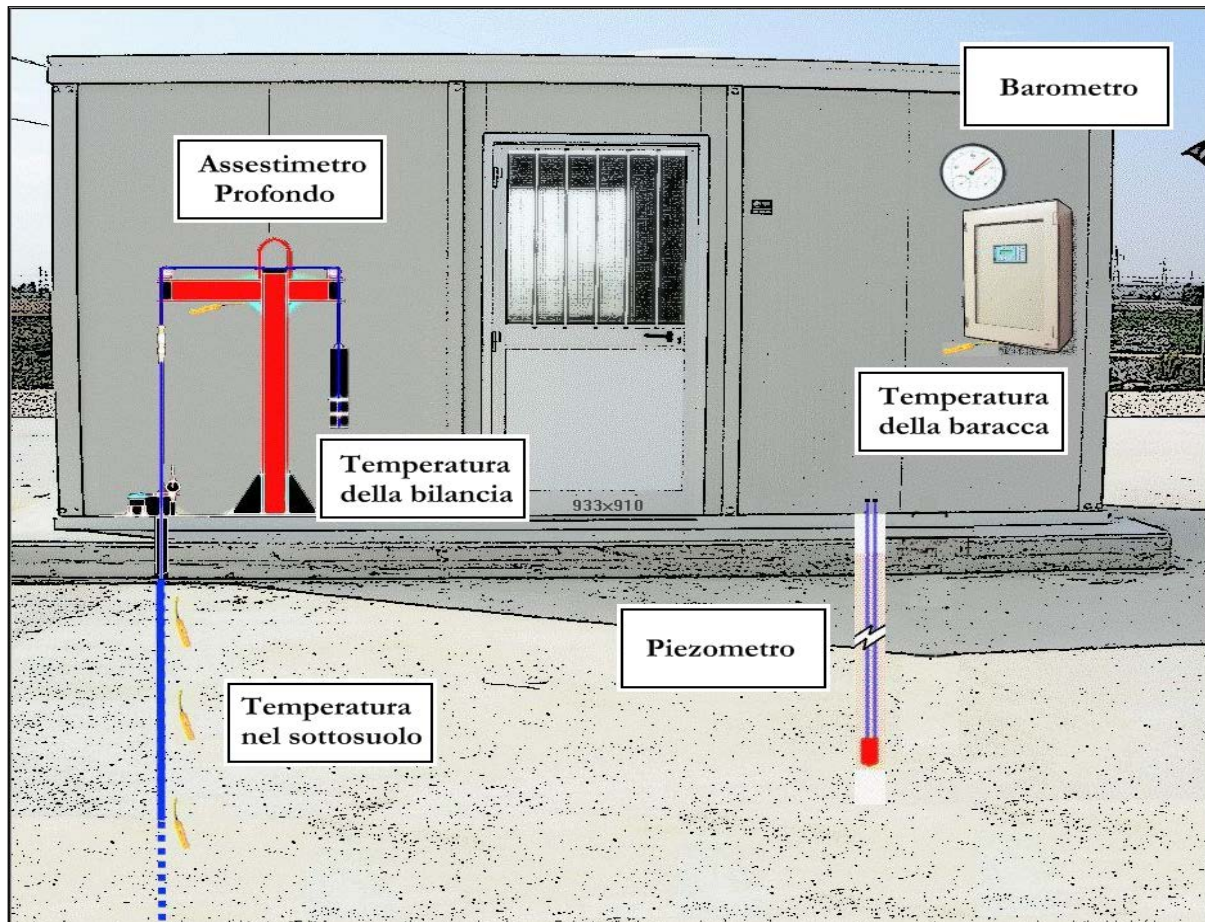


Figura 2B - Rappresentazione schematica di una stazione EPSU



Più in dettaglio, in ciascuna delle 3 stazioni EPSU sono state installati i seguenti dispositivi di misura:

Località	Pozzo	Strumentazione	Profondità (da P.C.)	Data d'installazione
Smarlacca		Assestimetro profondo	334 m	Nov.1997
		Assestimetro superficiale	30 m	Nov.1997
		Piezometro profondo	150,8 m	Nov.1997
Spinaroni		Assestimetro profondo	336 m	Nov.1997
		Piezometro profondo	150,8 m	Nov.1997
Fiumi Uniti		Assestimetro profondo	372,85 m	Set. 1994
		Assestimetro superficiale	224,2 m	Set. 1994
		Piezometro profondo	360 m (disattivato)	Set. 1994
		Piezometro intermedio	243 m (disattivato)	Set. 1994
		Piezometro superficiale	148 m (disattivato)	Set. 1994
	PS-1	Piezometro tubo aperto	10,5 m	Dic. 2011
	PS-2	Piezometro tubo aperto	30,5 m	Dic. 2011
	PP-1	Piezometro tubo aperto	373,5 m	Dic. 2011
	PP-2	Piezometro tubo aperto	257 m	Dic. 2011
	PP-3	Piezometro tubo aperto	163 m	Dic. 2011

Per ciascuna stazione EPSU si allegano:

1. scheda che ne descrive sinteticamente le principali caratteristiche;
2. grafico che mostra l'andamento temporale di tutte le misure;
3. file in formato excel che contiene i valori numerici di tali misure.

N.B.: Nella lettura dei dati riportati sui grafici relativi agli assestimetri, i valori positivi costituiscono la componente della compattazione (riduzione dello spessore dello strato di sottosuolo attraversato dall'assestimetro); al contrario i valori negativi costituiscono la componente dell'espansione (aumento dello spessore dello strato di sottosuolo attraversato dall'assestimetro).



Stazione EPSU di Smarlacca (installata novembre 1997)

Strumentazione

- assestimetro profondo - quota bottom: 334,1 m da p.c.
- assestimetro superficiale – quota bottom: 29,5 m da p.c.
- piezometro- quota cella: 150,8 m da p.c.

Questa stazione di misura è composta di una doppia verticale assestimetrica: un assestimetro profondo (334,15 metri d'asta di misura) e un assestimetro superficiale (29,5 metri d'asta di misura).

L'installazione è stata fatta nel periodo 15 luglio 1997 - 20 ottobre 1997; il sistema è stato completato nel mese di novembre 1997 e collaudato in data 8 aprile con la calibratura di tutti i sensori di misura ("misura di zero").

All'interno del foro assestimetrico è stato installato un piezometro Casagrande con la cella porosa posta alla profondità di 150,80 m da p.c.

L'unità d'acquisizione dati è stata impostata con una frequenza di un dato ogni due ore. In seguito, dal 17 aprile 1999 la frequenza è stata ridotta a una misura ogni 6 ore.

Nel periodo settembre 2003 – ottobre 2003 si sono persi dei dati per un guasto all'apparecchiatura di misura.

A fine agosto del 2008 si è spurgato il piezometro che dopo l'intervento è stato ritenuto funzionante. Nell'ottobre del 2012, perdurando le registrazioni di valori anomali nei due tubi della cella Casagrande, si è fatto un nuovo intervento di pulizia al termine del quale lo strumento è stato giudicato non più in grado di fornire misure attendibili e, pertanto, non più funzionante. Sono in corso le attività per il suo ripristino.

Analisi dei dati assestimetrici

L'assestimetro più profondo misura la compattazione degli strati di terreno compresi tra 334,15 m (punto di ancoraggio) e il piano di campagna (p.c.); quello più superficiale a sua volta misura la compattazione degli strati di terreno compresi tra 29,5 m (punto di ancorag-



gio) e il piano di campagna.

Nei grafici allegati sono riportati sia i dati piezometrici, sia quelli assestimetrici per un confronto. I dati relativi all'assestometro sono espressi in millimetri e riportano gli spostamenti misurati rispetto a un valore base iniziale ("misura di zero"). Tale misura è quella dell'8 aprile 1998, data di collaudo del sistema. Valori positivi degli spostamenti nel grafico dell'assestometro indicano una compattazione e, viceversa, valori negativi un incremento dello spessore (i.e. espansione) degli strati di terreno monitorati.

Nel periodo luglio - settembre 2003, si osserva nell'andamento del grafico dell'assestometro profondo un salto (corrispondente a una compattazione) di 2,7 mm in corrispondenza di un periodo di 72 giorni; tale evento compare, anche se in misura minore, nel grafico dell'assestometro superficiale. Tale salto è confermato anche dalle misure effettuate con il comparatore meccanico durante i sopralluoghi per le manutenzioni ordinarie. Si tratta di un comportamento anomalo se rapportato con gli andamenti precedenti e successivi a detto periodo di osservazione. Il grafico storico mostra, infatti, una compattazione a velocità più o meno costante in tutti i periodi dell'anno, tranne che nel luglio-settembre 2003 in cui il fenomeno ha avuto un'accelerazione (l'estate del 2003 è stata caratterizzata da temperature atmosferiche molto elevate e assenza di precipitazioni piovose, condizioni che potrebbero aver favorito una compattazione superficiale maggiore).

Dopo questo periodo gli assestimetri sono tornati a registrare il solito trend a velocità costante.

Per quanto riguarda i termometri installati lungo la verticale assestimetrica, si segnala un guasto al sensore posto a quota -4 metri la cui misura si interrompe da marzo 2013.

Le misure registrate da entrambi gli assestimetri (superficiale e profondo) mostrano lo stesso trend di compattazione ed espansione del terreno con una correlazione molto elevata fra i rispettivi andamenti. Per entrambe le strumentazioni la velocità media di compattazione è, quindi, abbastanza simile, essendo risultata rispettivamente di ca. 0,3 mm/a (foro superficiale) e 1 mm/a (foro profondo). In prossimità della stazione assestimetrica è stato installato 4 anni più tardi anche un CGPS, le cui misure hanno consentito di stimare per quella zona una velocità media d'abbassamento della superficie del suolo pari a circa 6,5 mm/a.



Un confronto fra i valori diversi di tali velocità (GPS e assestimetrica), che si riferiscono però a fenomeni fisici diversi anche se collegati fra loro, porta a ipotizzare che nell'area siano in atto anche fenomeni di compattazione che interessano i sedimenti più profondi (> 334 m).

Si è fatto, inoltre, un confronto fra le misure assestimetriche (per comodità si sono riportate solo quelle registrate dalla strumentazione più profonda) e quelle geodetica GPS. Il grafico allegato mostra una buona correlazione tra entrambe le curve che riflettono bene gli eventi stagionali.

Si segnala, inoltre, che per comodità di lettura del grafico:

- le misure del CGPS sono state filtrate con una media mobile su 50 campioni per meglio evidenziarne l'andamento;
- i valori della curva assestimetrica sono stati riportati in ordine inverso, così da renderne l'andamento coerente quello della curva GPS (spostamenti delle curve verso l'alto indicano sollevamenti del terreno e viceversa).

Analisi dei dati piezometrici

Nel grafico del piezometro l'ordinata è la quota piezometrica (in m), ovvero la profondità del livello dell'acqua all'interno del tubo piezometrico riferita al piano campagna. Nello stesso grafico (come seconda ordinata) è riportato il valore della pressione barometrica.

I dati piezometrici sono stati depurati dalla variazione barometrica dato che si è utilizzato un trasduttore assoluto per ragioni di maggiore affidabilità. La correzione è stata fatta misurando contemporaneamente quota piezometrica e pressione barometrica.

Degli interventi fatti sul piezometro e della sua affidabilità si è detto in precedenza.

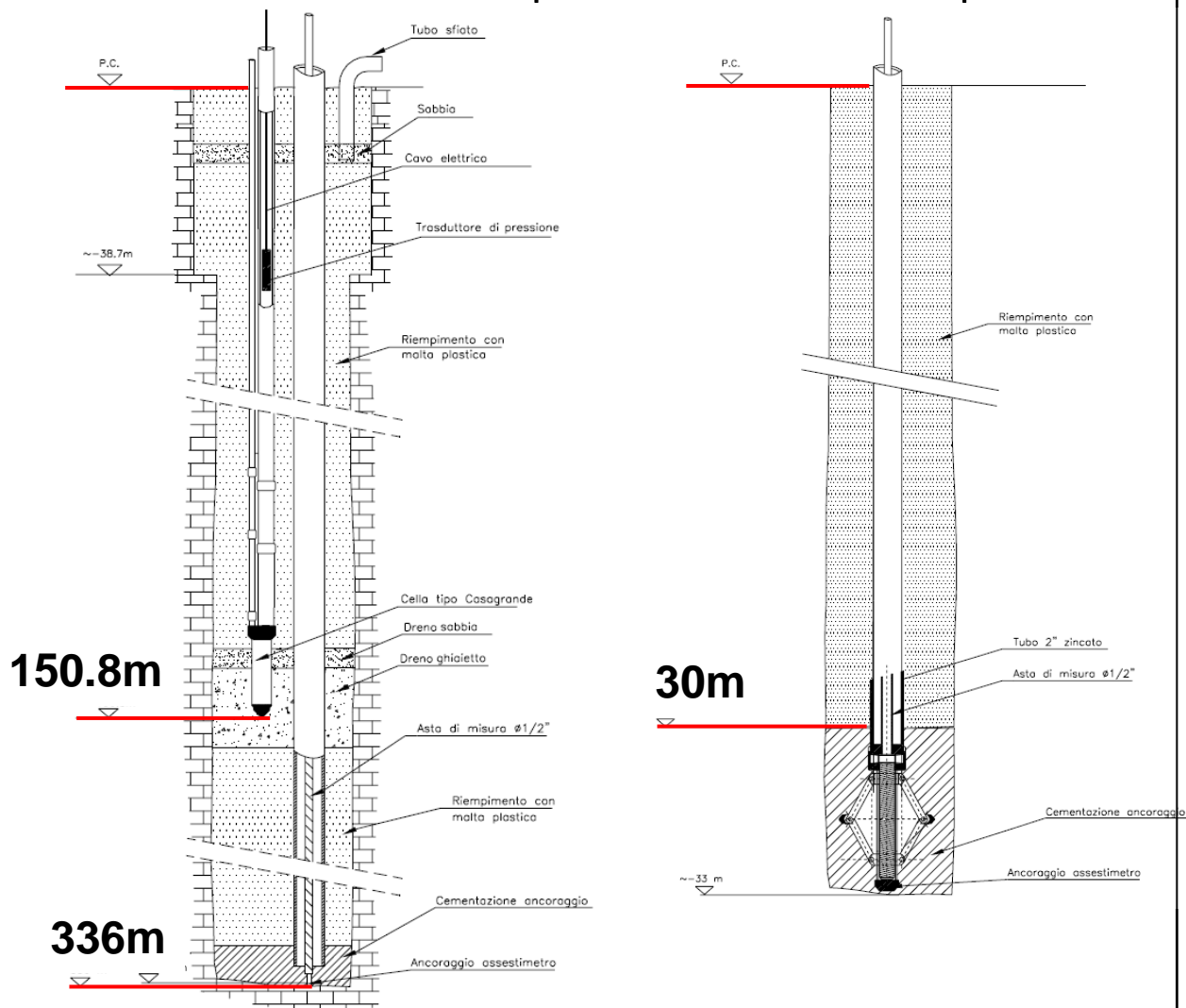


SMARLACCA

Piezometro

Assestimetro profondo

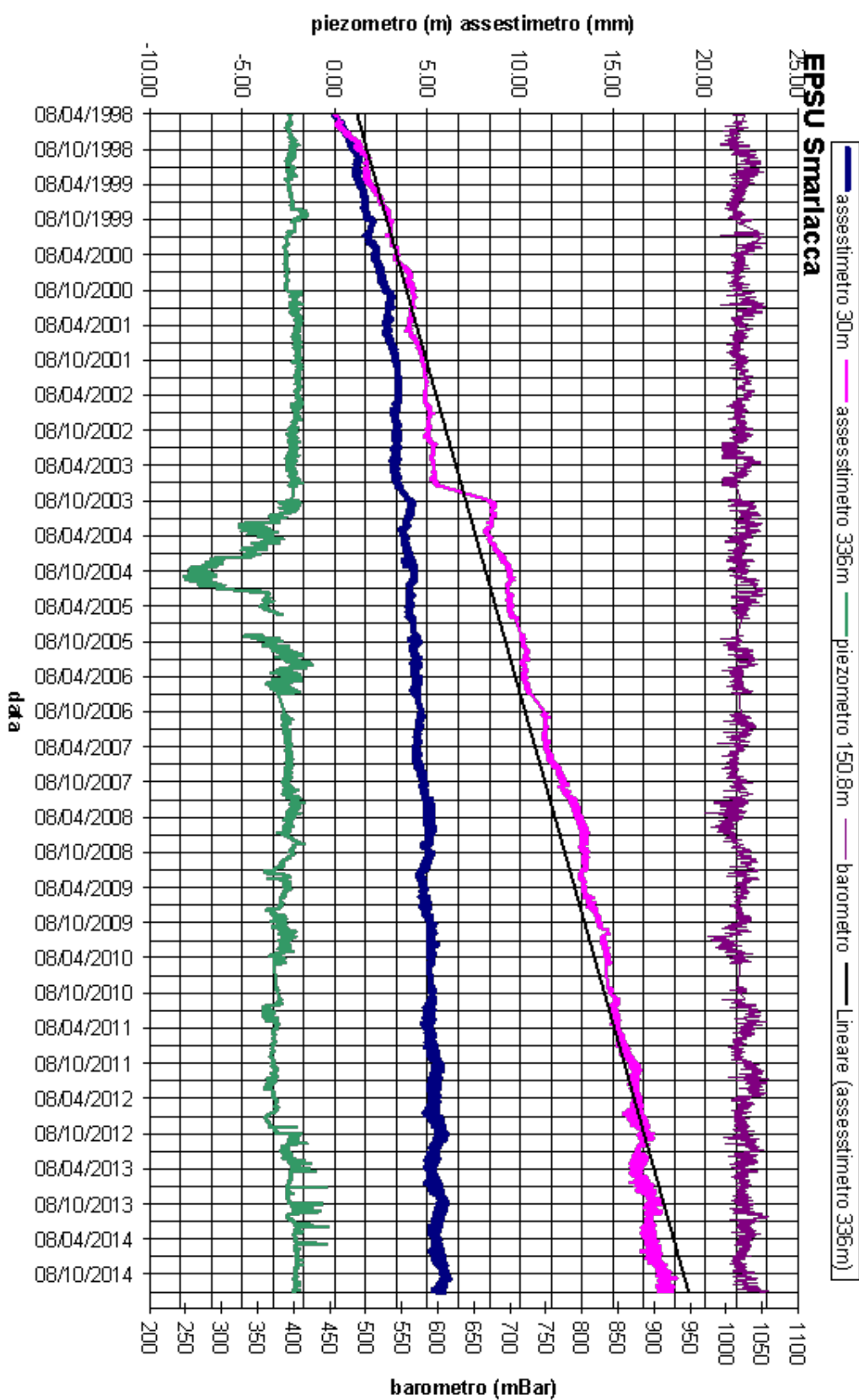
Assestimetro superficiale



non in scala

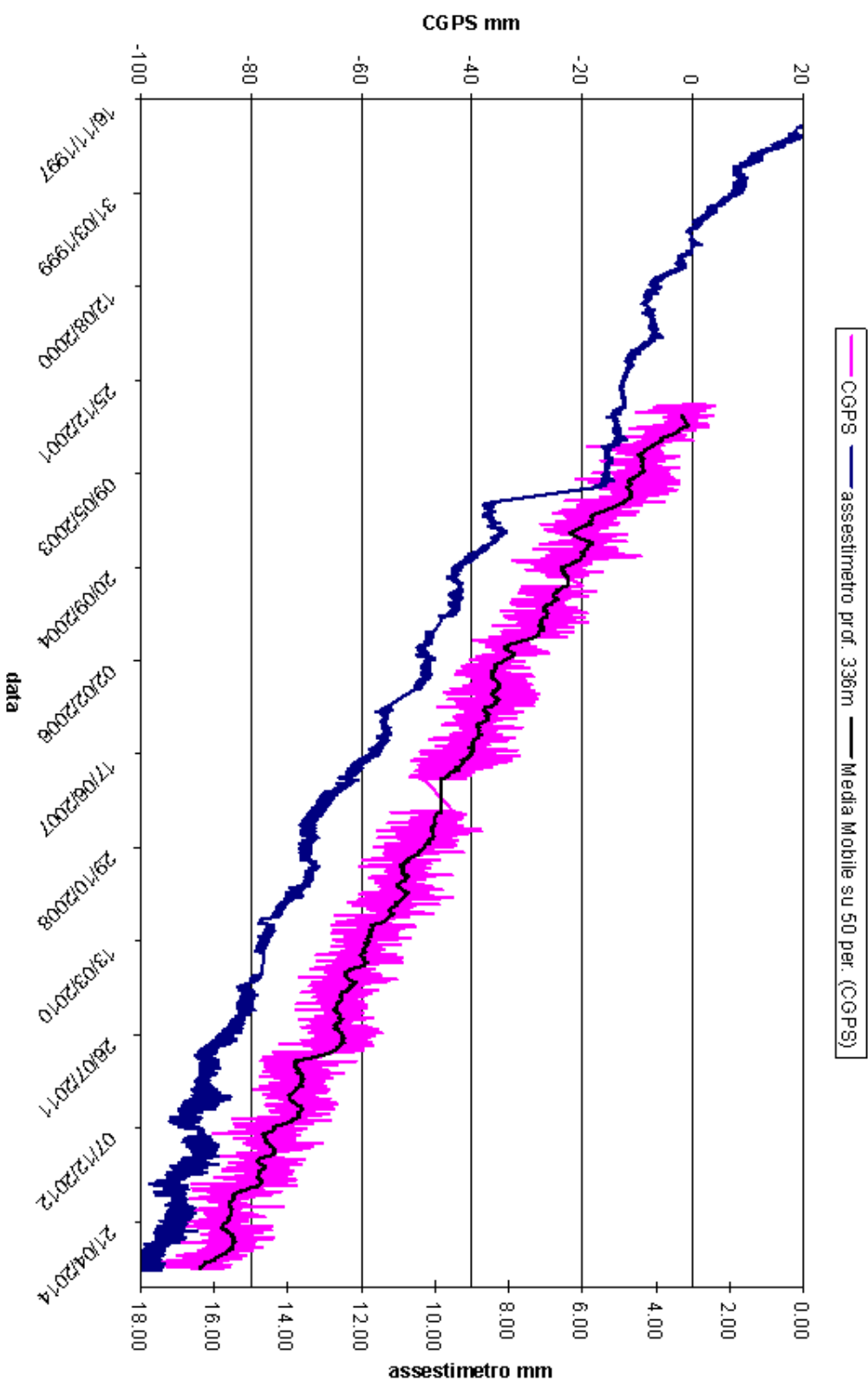


L'assestimento misura cedimenti del terreno rispetto all'ancoraggio profondo
valori positivi = abbassamento
valori negativi = sollevamento





SMARLACCA - Confronto GPS ed assestimento profondo



Nel grafico per meglio apprezzare le modulazioni della curva GPS questa è stata filtrata con una media mobile su 50 campioni. Per comodità la curva assestimentica è stata graficata con i valori in ordine inverso, in modo da renderla coerente con le modulazioni del GPS (spostamenti delle curve verso l'alto indicano sollevamenti del terreno e viceversa)



Stazione EPSU di Spinaroni - ex PCTA (installata novembre 1997)

Strumentazione:

- assestimetro - quota bottom 336 m da p.c.
- piezometro a cella singola - quota cella 150,8 m da p.c.

L'installazione della verticale assestimetrica è stata fatta nel periodo 15 luglio 1997 - 20 settembre 1997; il sistema di misura è stato poi completato nel novembre 1997 e collaudato in data 8 aprile 1998 con la calibratura di tutti i sensori ("misura di zero").

L'unità d'acquisizione dati è stata impostata con una frequenza di registrazione di una misura ogni due ore. In seguito, dal 17 aprile 1999, tale frequenza è stata ridotta a una misura ogni 6 ore.

Di questa stazione si sono persi alcuni mesi di dati (da settembre 2001 ad aprile 2002) a causa del furto del pannello solare installato per l'alimentazione del sistema. Il ripristino è stato fatto nel mese di aprile 2002.

Nel periodo gennaio 2003 – marzo 2003 si è avuto un black-out per un guasto all'apparecchiatura d'acquisizione dati. Nell'agosto 2007 si è di nuovo verificato il furto del pannello solare con la conseguente perdita delle misure nel periodo 14 agosto - 5 ottobre 2007.

A fine agosto 2008 si è spurgato il piezometro e al 30 settembre ne è stato fatto un controllo con sonda televisiva; a seguito di tale controllo lo strumento è stato considerato non affidabile per una probabile rottura del tubo di diametro più piccolo ($\varnothing 1/2"$).

Gli interventi sul piezometro hanno causato la perdita di 14 giorni di misure assestimetriche (dal 30 settembre al 14 ottobre 2008). Il giorno 14 ottobre si è ritarato il trasduttore di spostamento, posizionandolo a +1.8 mm rispetto alla misura del 30 settembre. Di questo riposizionamento si è tenuto conto nell'elaborazione dei dati.

Analisi dei dati assestimetrici

L'assestimetro misura la compattazione degli strati di terreno compresi tra 336 m (punto di ancoraggio) e il piano di campagna.



Nei grafici allegati sono riportati sia i dati piezometrici, sia quelli assestimetrici per un confronto. I dati relativi all'assestometro sono espressi in millimetri e riportano gli spostamenti misurati rispetto a un valore base iniziale ("misura di zero"). Tale misura è quella dell'8 aprile 1998, data di collaudo del sistema. Valori positivi degli spostamenti nel grafico dell'assestometro indicano una compattazione e, viceversa, valori negativi un incremento dello spessore (i.e. espansione) degli strati di terreno monitorati.

In data 28 luglio 2004 è stata ripresa di 25,0 mm la corsa del trasduttore di spostamento, poiché il sensore era troppo vicino al fondo scala. Nell'elaborazione delle misure è stato tenuto conto di tale variazione aggiungendo un offset della stessa entità alle misure. Come già detto, analogo intervento è stato poi fatto in data 14 ottobre 2008.

Nel grafico allegato si nota un comportamento alquanto anomalo dello strumento se rapportato alla sua storia precedente che ha sempre avuto un trend in crescita. Nell'ottobre 2003 l'assestometro ha, infatti, registrato un repentino sollevamento del piano campagna rispetto al punto profondo (4 mm in 5 giorni) in concomitanza con un abbassamento della falda di circa 40 – 50 cm. Non sono state chiarite le ragioni di tale anomalia.

Per questa stazione si hanno a disposizione circa 17 anni di osservazione. In questi anni si è registrata una compattazione totale di 49,5 mm, corrispondente a una velocità media di 2,9 mm/a, che mantiene, dopo il primo anno di assestamento, un andamento abbastanza regolare nel tempo (a parte l'anomalia sopra segnalata). Nella stazione EPSU è stato installato nel 2002 anche un CGPS, le cui misure hanno consentito di stimare una velocità media d'abbassamento della superficie del suolo pari a circa 7,7 mm/a.

Un confronto fra i valori diversi di tali velocità (GPS e assestimetrica), che si riferiscono però a fenomeni fisici diversi anche se collegati fra loro, porta a ipotizzare che nell'area siano in atto anche fenomeni di compattazione che interessano i sedimenti più profondi (> 336 m).

La correlazione nel tempo dell'andamento delle due curve (geodetica GPS e assestimetrica) non è molto elevata come mostrato nel grafico allegato; le misure GPS presentano un andamento più regolare con una dinamica legata alla stagionalità. Nel periodo tra inizio ottobre 2003 sino a oltre la metà del 2004, la curva GPS mostra, però, oscillazioni molto simili a quelle registrate dell'assestometro nello stesso periodo, avvalorando l'ipotesi che possano



essere reali e non “artefatti strumentali” i movimenti “anomali” cui si è detto in precedenza.

Si segnala, inoltre, che per comodità di lettura del grafico:

- le misure del CGPS sono state filtrate con una media mobile su 50 campioni per meglio evidenziarne l'andamento;
- i valori della curva assestimetrica sono stati riportati in ordine inverso, così da renderne l'andamento coerente quello della curva GPS (spostamenti delle curve verso l'alto indicano sollevamenti del terreno e viceversa).

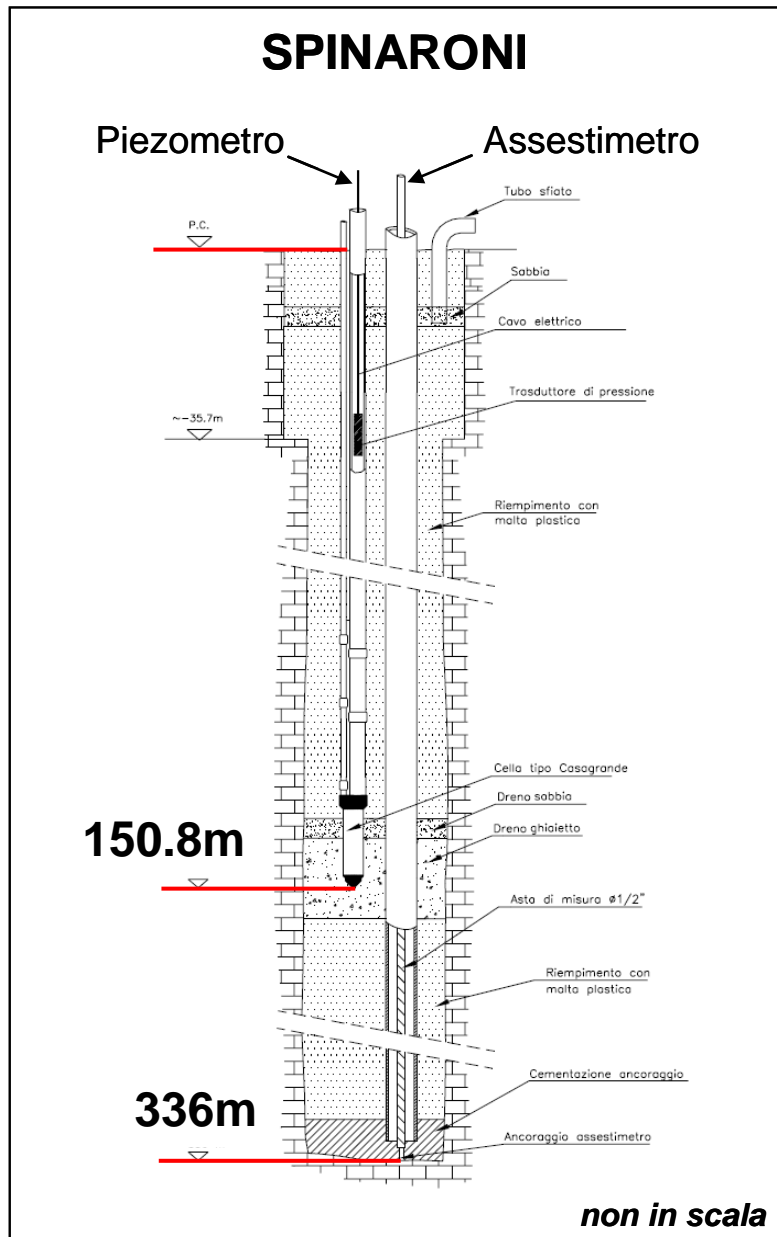
Analisi dei dati piezometrici

Il grafico con la curva piezometrica riporta, in ordinata a sinistra, la quota piezometrica riferita alla profondità di posa della cella Casagrande. I dati piezometrici diagrammati sono già depurati dalla variazione barometrica.

Dall'inizio di dicembre 2005 il sensore di pressione ha iniziato a fornire valori anomali per cui si è deciso d' eseguire misure dirette del livello della falda. A tale scopo si è impiegato un freatimetro con il quale si è accertato che la quota raggiunta dall'acqua all'interno del tubo piezometrico era pari a -5,22 m dal piano campagna.

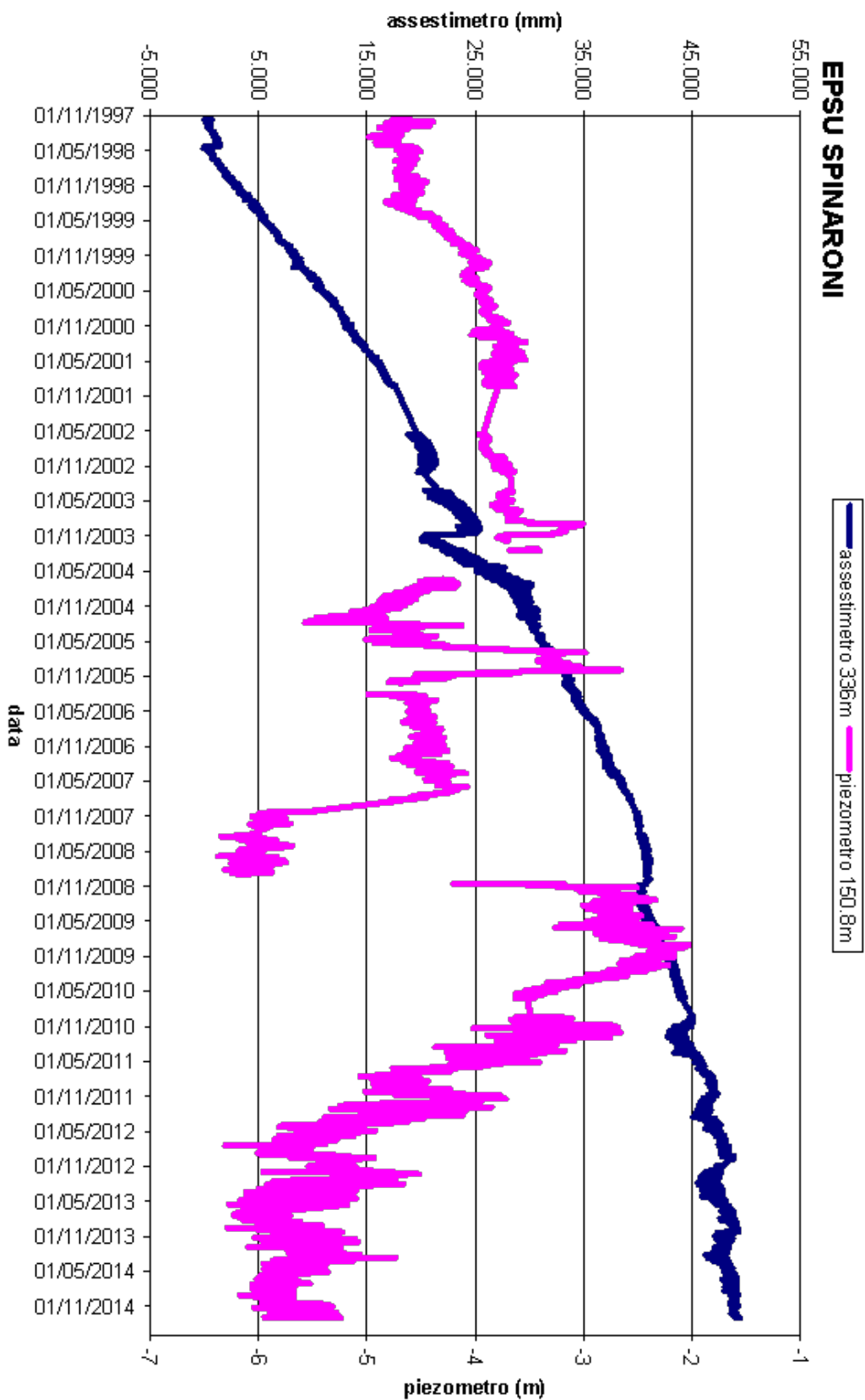
In data 31 gennaio 2006 è stato sostituito definitivamente il trasduttore di pressione nel tubo piezometrico, ponendolo alla profondità di 20 metri rispetto al piano della baracca.

A seguito di una verifica con attrezzatura di spurgo in data 26 agosto 2008, il piezometro è stato considerato non attendibile. Sono in corso le attività per il suo ripristino.



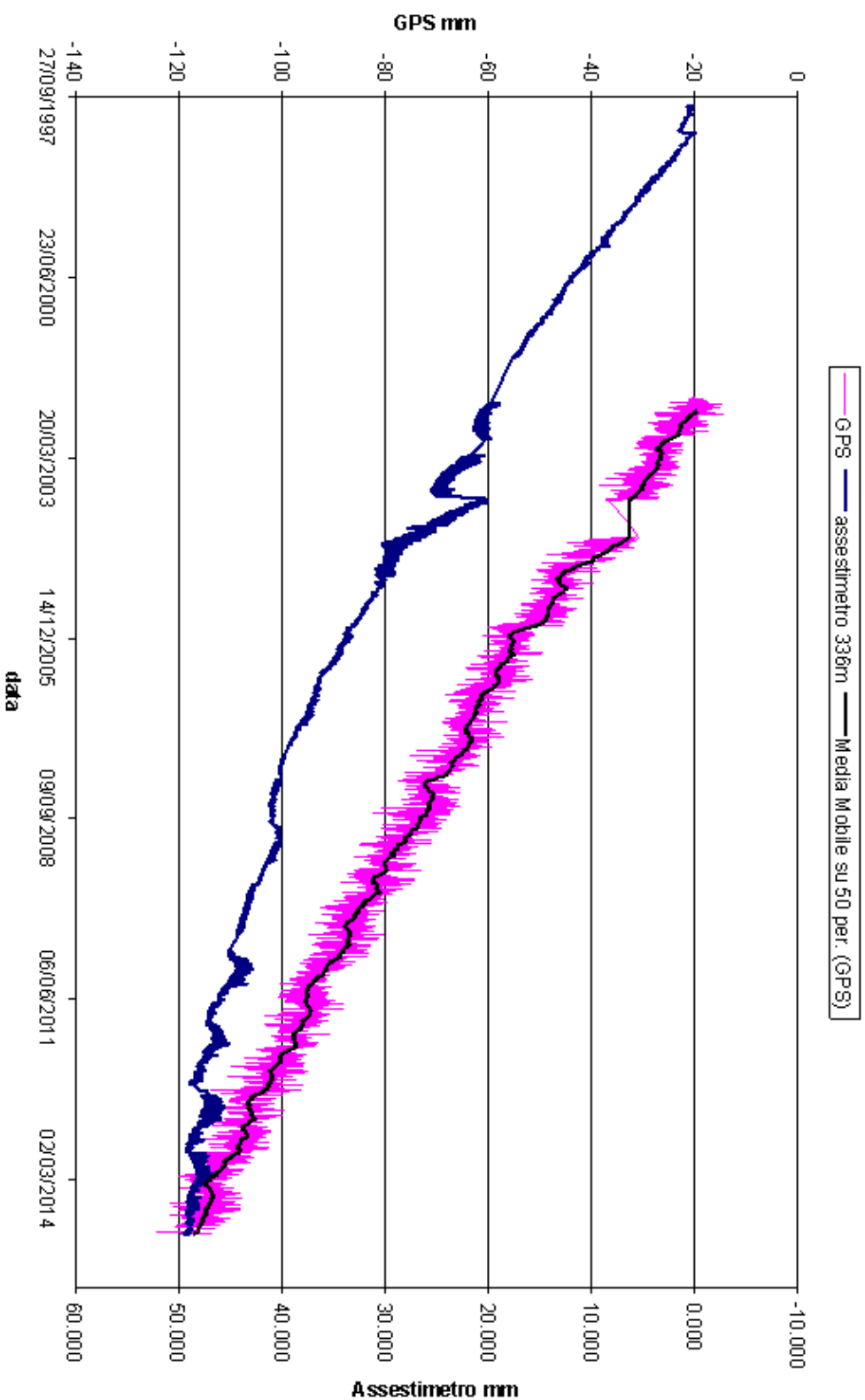


L'assestimetro misura cedimenti del terreno rispetto all'ancoraggio profondo
valori positivi = abbassamento
valori negativi = sollevamento





SPINARONI - Confronto GPS ed assestimetro profondo



Nel grafico per meglio apprezzare le modulazioni della curva GPS questa è stata filtrata con una media mobile su 50 campioni. Per comodità la curva assestimetrica è stata graficata con i valori in ordine inverso, in modo da renderla coerente con le modulazioni del GPS (spostamenti delle curve verso l'alto indicano sollevamenti del terreno e viceversa)



Stazione EPSU di Fiumi Uniti (installata settembre 1994)

Strumentazione

- assestimetro profondo - quota bottom: 372,85 m da p.c.
- assestimetro superficiale – quota bottom: 224,2 m da da p.c.
- piezometro profondo a 360 m p.c. (disattivato da agosto/2011)
- piezometro intermedio a 243 m p.c. (disattivato da agosto/2011)
- piezometro superficiale a 148 m p.c. (disattivato da agosto/2011)

Nel dicembre 2011 presso l'area Fiumi Uniti sono stati aggiunti i seguenti nuovi piezometri:

Sigla	Profondità (da p.c.)	Tipo Piezometro	Tratto Filtrante
PS-1	10,5	Tubo aperto	da 6,4 a 9,5 m da p.c.
PS-2	30,5	Tubo aperto	da 25,4 a 29,5 m da p.c.
PP-1	373,5	Tubo aperto	da 361,0 a 365,0 m da p.c. e da 366,5 a 372,5 m da p.c.
PP-2	257,0	Tubo aperto	da 241,0 a 245,0 m da p.c. e da 250,0 a 256,0 m da p.c.
PP-3	163,0	Tubo aperto	da 141,1 a 153,2 m da p.c.e da 156,0 a 162,0 m da p.c.

Questa stazione assestimetrica è stata completata nel settembre 1994.

L'unità d'acquisizione dati è stata impostata con una frequenza di registrazione di una misura ogni due ore. In seguito, dal 17 aprile 1999, tale frequenza è stata ridotta a una misura ogni 6 ore.

Nel luglio 2003 si è avuto il furto dei pannelli solari installati per l'alimentazione del sistema di misura, con conseguente perdita di 2 mesi di registrazioni (7 agosto 2003 - 2 ottobre 2003). Nel giugno 2004 è stata sostituita integralmente la baracca di protezione del sistema; in tale occasione è stato fatto l'allacciamento alla rete elettrica, eliminando, così, il ricorso ai pannelli solari.

Nel marzo 2008 sono stati spurgati i 3 piezometri. L'operazione ha consentito d'accertare che il piezometro superficiale e quello intermedio di fatto erano non funzionanti, poiché in comunicazione idraulica tra loro e con i filtri intasati.



Molto dubbio era anche il funzionamento del piezometro profondo.

Nel periodo 9 agosto 2010 - 8 settembre 2010 si sono perse le misure per un guasto alle apparecchiature. Lo stesso si è verificato nell'ottobre 2010.

A seguito dei lavori di ripristino dei pozzetti piezometrici, a partire da metà dal luglio 2011 sono stati definitivamente sigillati i 3 vecchi tubi piezometrici.

Nel dicembre 2011 sono entrati in funzione i tre nuovi pozzi piezometrici descritti nella precedente tabella.

Da circa fine giugno 2012 sino a fine febbraio 2013 il trasduttore di pressione del piezometro superficiale a 30 m non ha funzionato correttamente registrando valori non attendibili; detto sensore è stato poi correttamente ri-scalato dopo il ripristino dell'alimentazione elettrica a ottobre 2013.

Si segnala la mancanza di dati di questa stazione dal 28 febbraio 2013 al 17 ottobre 2013 per un guasto alle apparecchiature di alimentazione elettrica del sistema d'acquisizione.

Analisi dei dati assestimetrici

L'assestimetro più profondo misura la compattazione degli strati di terreno compresi tra 372,85 m (punto di ancoraggio) e il piano di campagna; quello più superficiale a sua volta misura la compattazione degli strati di terreno compresi tra 224,2 m (punto di ancoraggio) e il piano di campagna.

Nei grafici allegati sono riportati sia i dati piezometrici, sia quelli assestimetrici per un confronto. I dati relativi all'assestimetro sono espressi in millimetri e riportano gli spostamenti misurati rispetto a un valore base iniziale ("misura di zero"). Tale misura è quella dell'8 aprile 1998, data di collaudo del sistema. Valori positivi degli spostamenti nel grafico dell'assestimetro indicano una compattazione e, viceversa, valori negativi un incremento dello spessore (i.e. espansione) degli strati di terreno monitorati.

L'assenza delle misure nel periodo compreso fra settembre 1997 e aprile 1998 è da collegare al fatto che inizialmente non era ancora in funzione il sistema di teletrasmissione dei dati. Le misure sono state fatte con continuità a partire dall'8 aprile 1998.

In data 17/10/2006 è stata ripresa la corsa dei traduttori di spostamento, precisamente di 16,3 mm per l'assestimetro profondo e di 14,4 mm per quello più superficiale.



Nell'elaborazione dei dati si è tenuto in conto di queste variazioni, così da non rappresentare il "salto" nelle misure per effetto di un cambiamento di fondo scala e non di una reale variazione assestimetrica.

Per tutti circa i 20 anni di misure fatte, le due curve assestimetriche mostrano andamenti molto simili, con minimi scostamenti tra loro. Ciò sembrerebbe indicare una compattazione prevalentemente superficiale, che interessa grosso modo i primi 220 m di terreno. La velocità di compattazione è di circa 2 mm/a per entrambi gli assestimetri e per tutto l'intervallo di tempo considerato. Presso la stazione EPSU è stato installato nel 2002 anche un CGPS, le cui misure hanno consentito di stimare una velocità media d'abbassamento della superficie del suolo pari a 14,7 mm/a.

Un confronto fra i valori diversi di tali velocità (GPS e assestimetrica), che si riferiscono però a fenomeni fisici diversi anche se collegati fra loro, porta a ipotizzare che nell'area siano in atto anche fenomeni di compattazione che interessano i sedimenti più profondi (> 220 m).

L'esame delle curve GPS e assestimetrica profonda non rivela, poi, particolari tratti di somiglianza fra le stesse, come si può osservare nel grafico allegato.

Si segnala, inoltre, che per comodità di lettura di tale grafico:

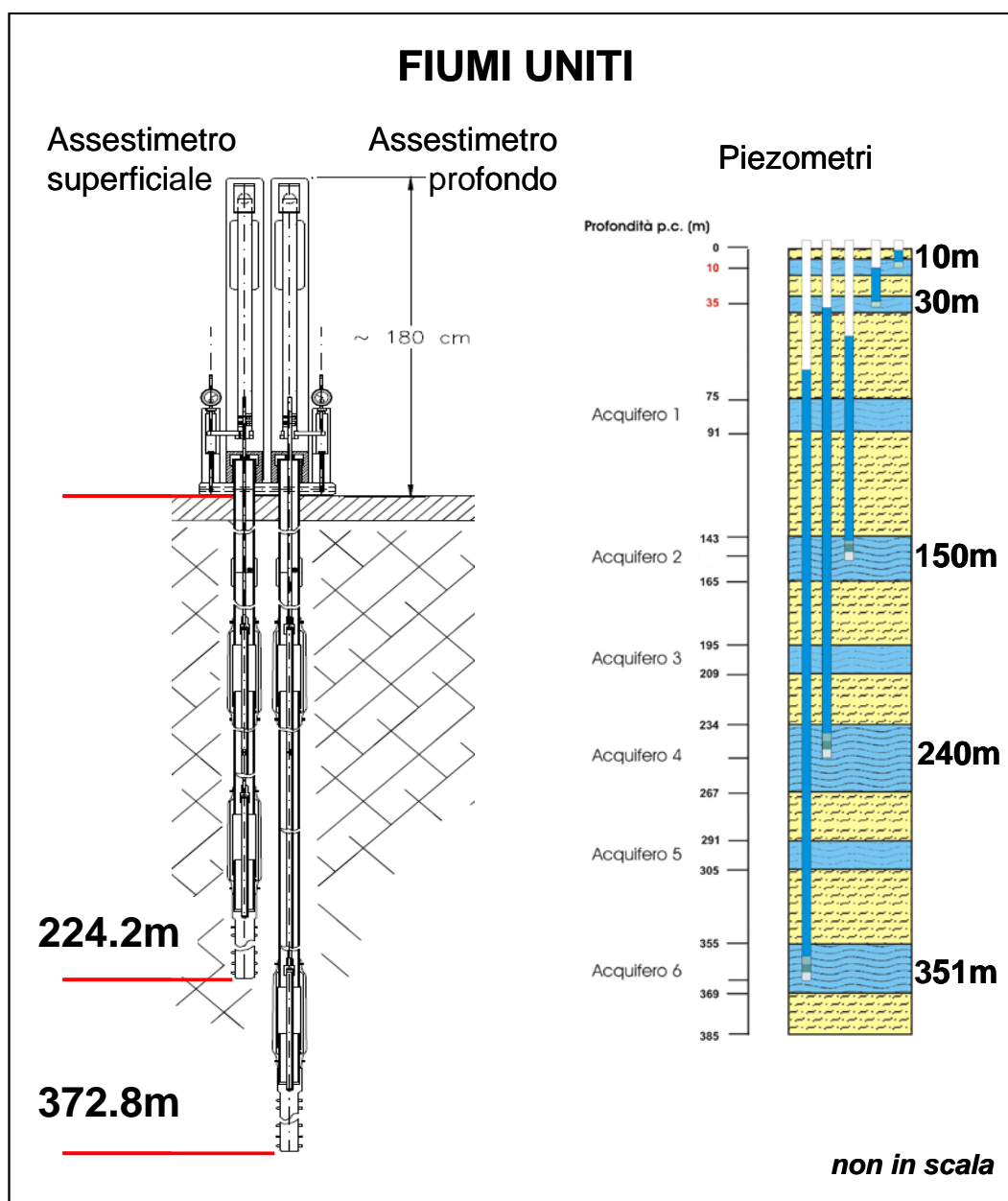
- il confronto delle due curve, è stato fatto per lo stesso periodo di osservazione (2002-2014), pur essendo la durata del monitoraggio con l'assestimetro di circa 8 anni più lunga;
- le misure del CGPS sono state filtrate con una media mobile su 50 campioni per meglio evidenziarne l'andamento;
- i valori della curva assestimetrica sono stati riportati in ordine inverso, così da renderne l'andamento coerente quello della curva GPS (spostamenti delle curve verso l'alto indicano sollevamenti del terreno e viceversa).

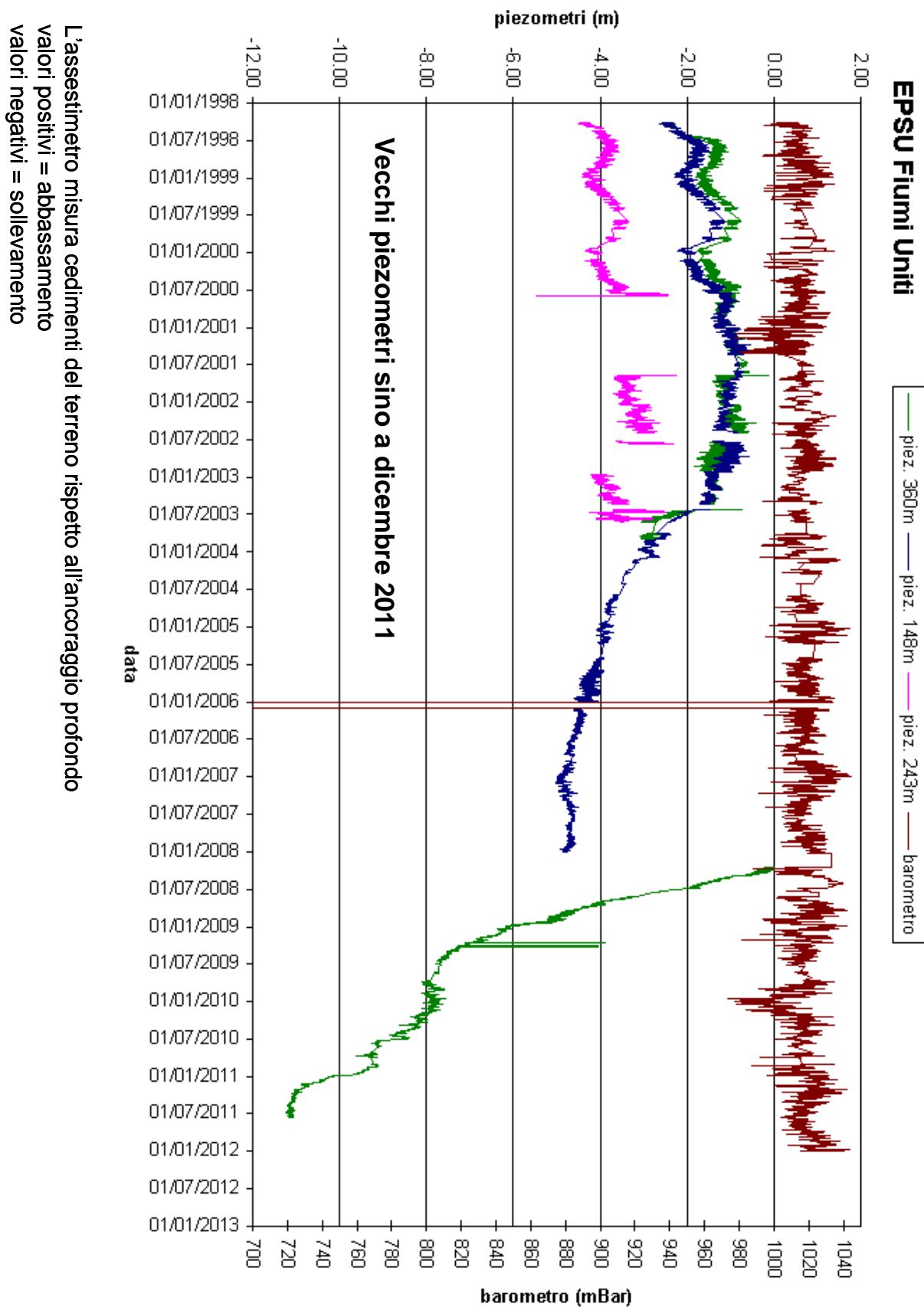
Analisi dei dati piezometrici

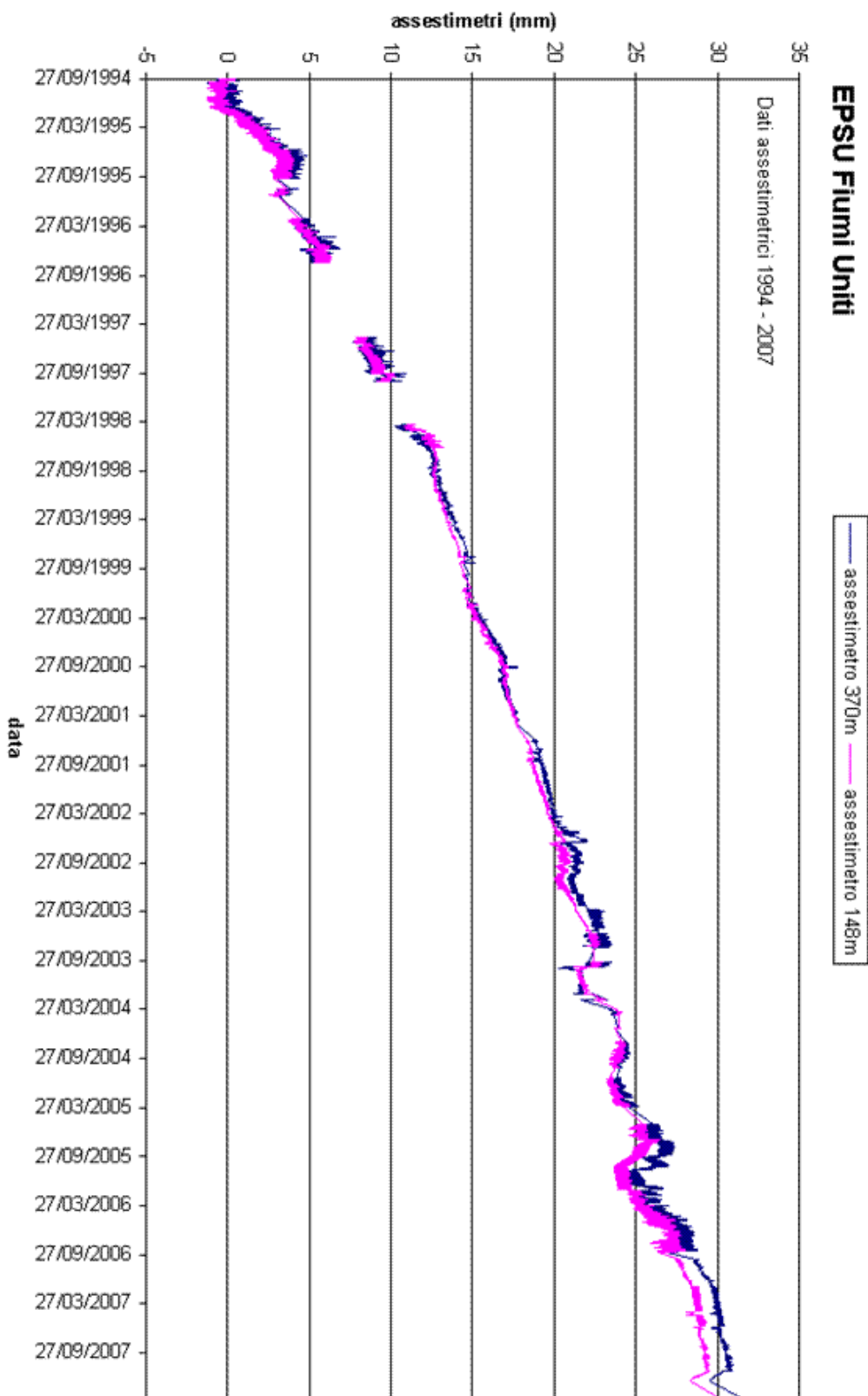
Come spiegato in precedenza, nella stazione sono stati posti inizialmente in opera tre verticali piezometriche che, però, nel corso del tempo si sono guastate. Per un lungo periodo, quindi, le misure piezometriche utilizzate sono state solo quelle del piezometro più profondo, ritenuto attendibile.



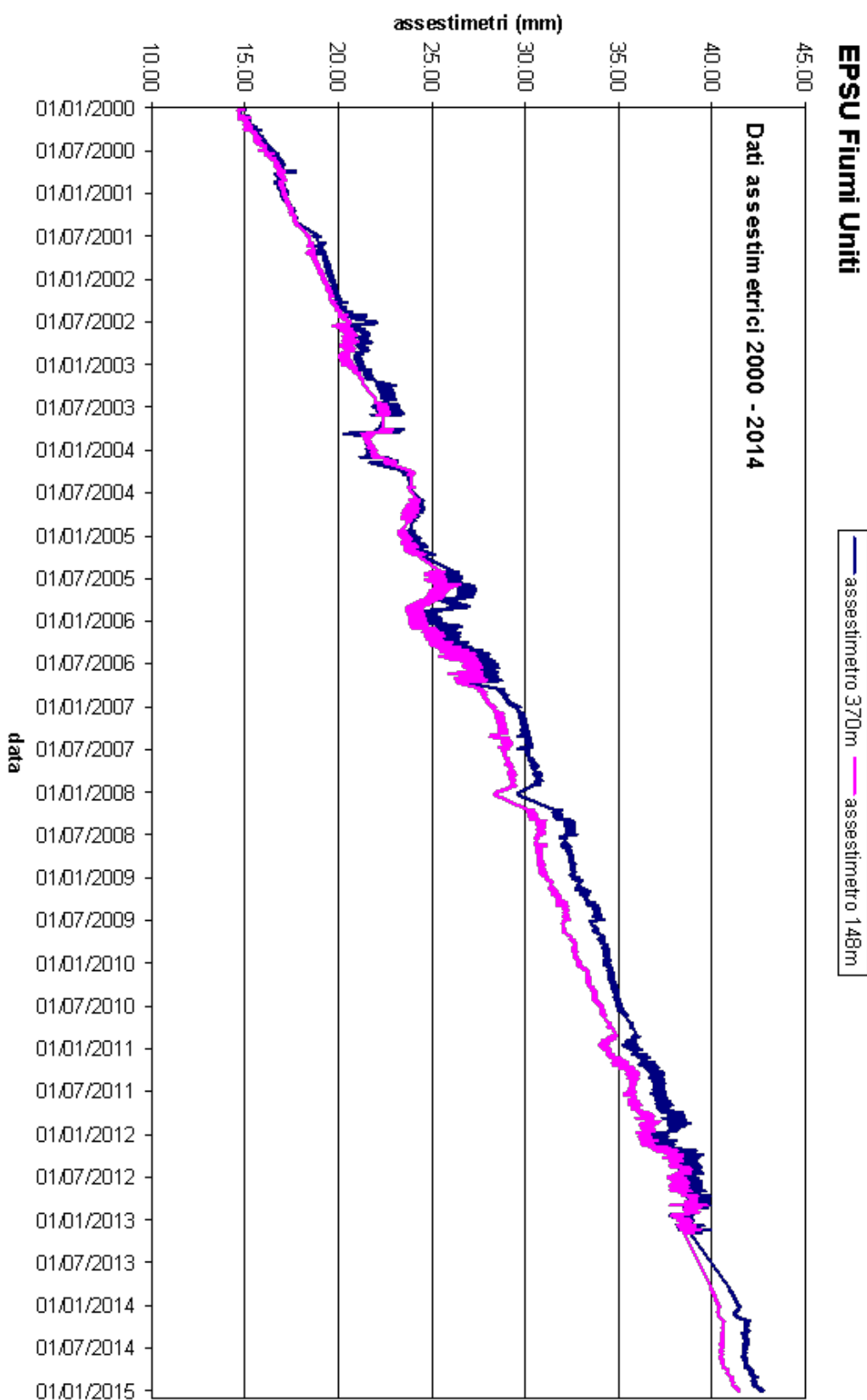
Da metà luglio 2011 tutti i vecchi tubi piezometrici sono stati poi definitivamente sigillati e dal 22 dicembre 2011 si sono resi disponibili i dati dei nuovi tubi piezometrici.



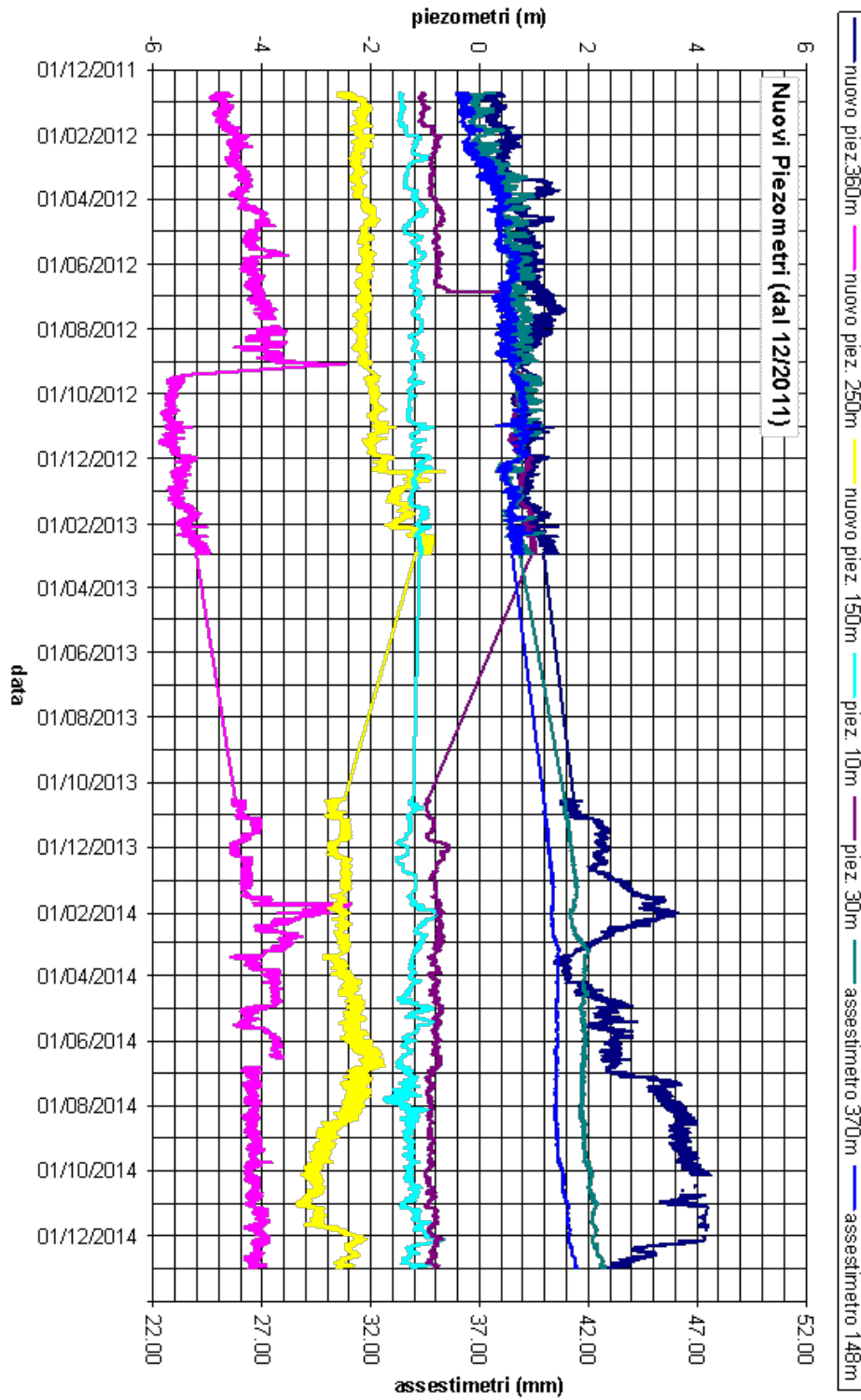


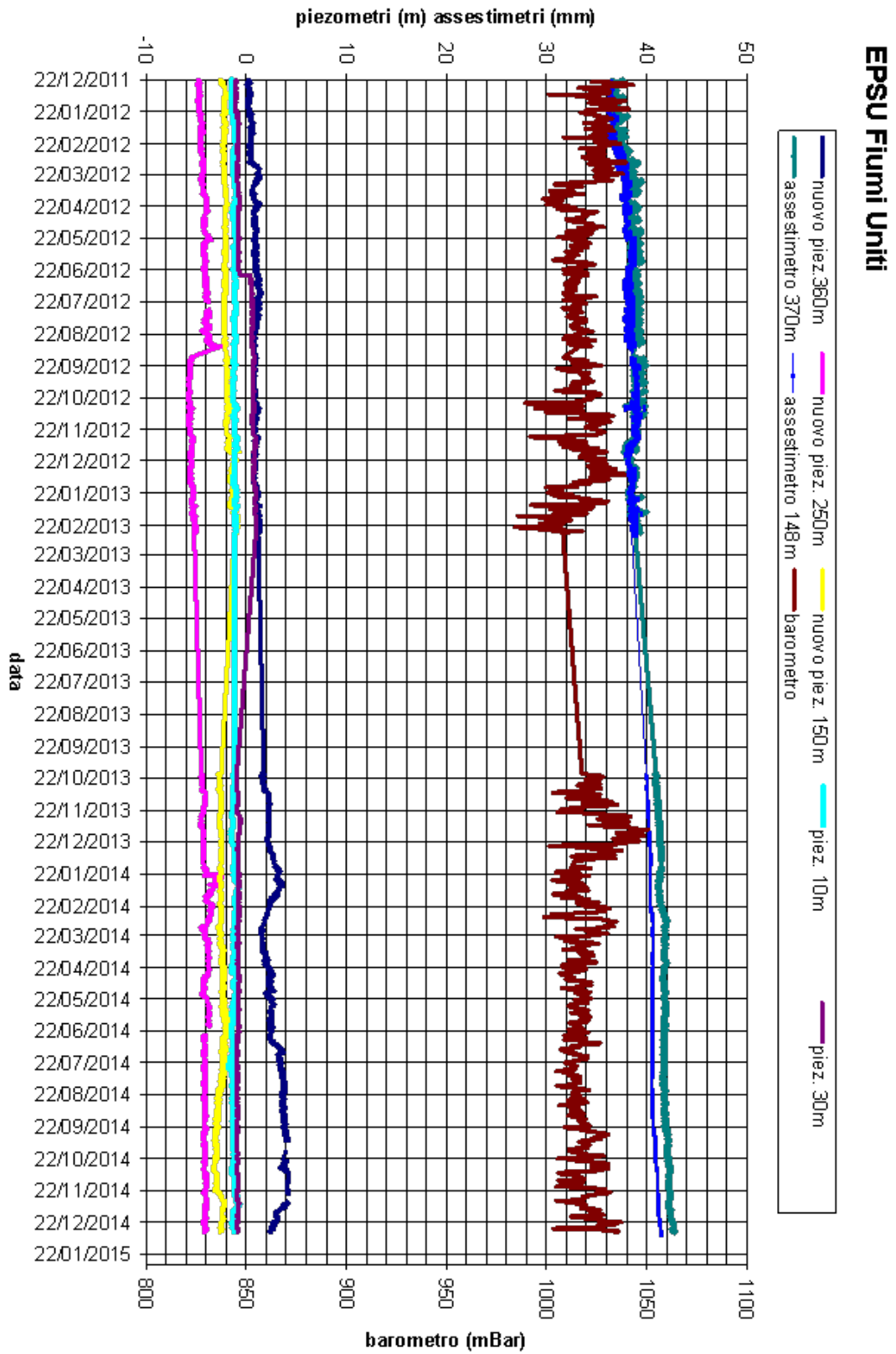


L'assestimento misura cedimenti del terreno rispetto all'ancoraggio profondo
valori positivi = abbassamento
valori negativi = sollevamento



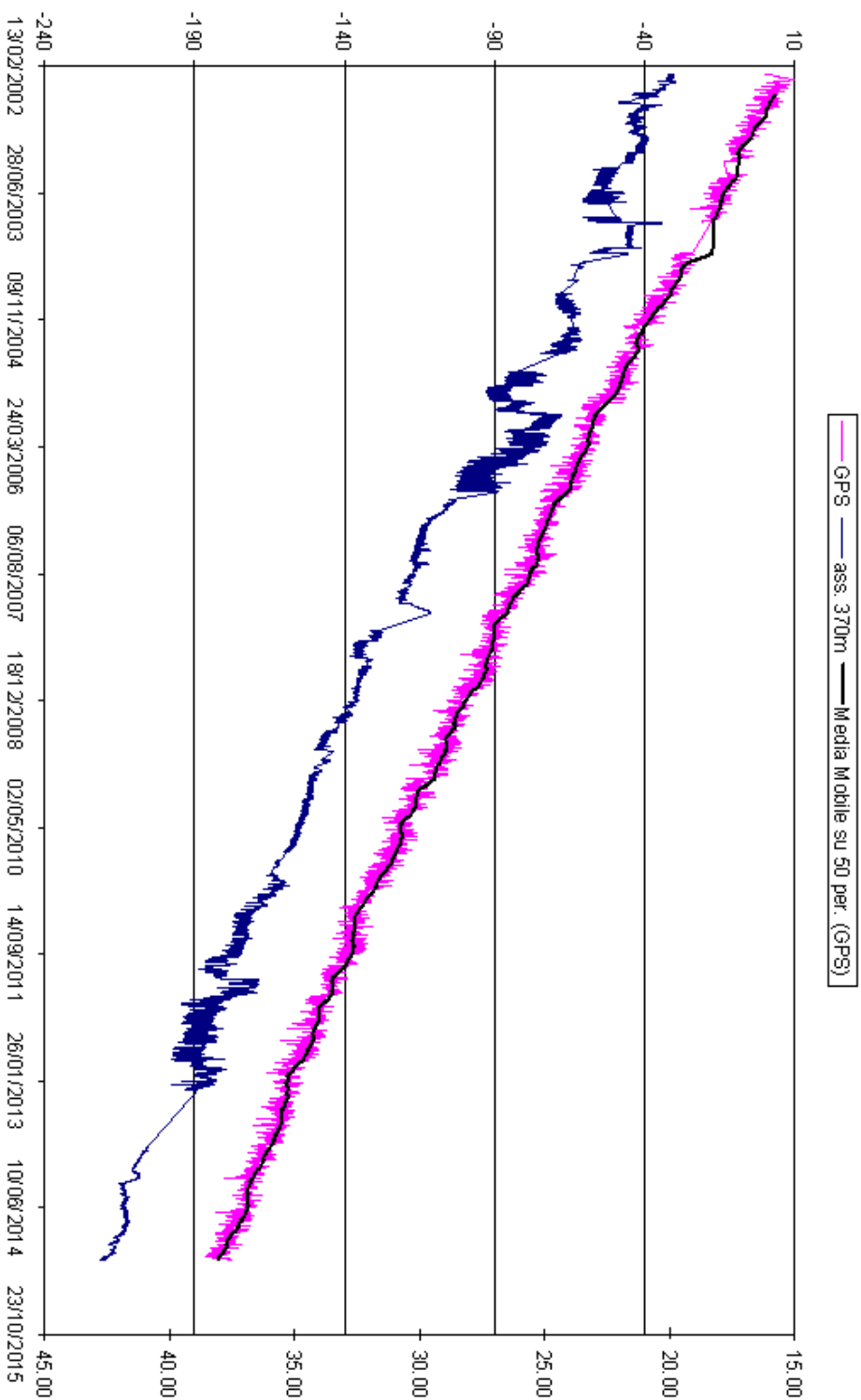
L'assestimetro misura cedimenti del terreno rispetto all'ancoraggio profondo
valori positivi = abbassamento
valori negativi = sollevamento







FIUMI UNITI - Confronto GPS ed assesimetro profondo



Nel grafico per meglio apprezzare le modulazioni della curva GPS questa è stata filtrata con una media mobile su 50 campioni. Per comodità la curva assesimetrica è stata graficata con i valori in ordine inverso, in modo da renderla coerente con le modulazioni del GPS (spostamenti delle curve verso l'alto indicano sollevamenti del terreno e viceversa)



Conclusioni

In generale, i grafici allegati mostrano come per tutte e tre le stazioni EPSU si siano ottenuti dati di buona qualità, pur tenendo conto delle difficoltà operative incontrate in fase d'acquisizione. Dalle serie storiche di misure disponibili si può, quindi, valutare l'entità della compattazione più superficiale del terreno nelle zone ove sono ubicate dette stazioni.

Smarlacca

Per la stazione di Smarlacca il periodo di osservazione è di oltre 16 anni (16,7), durante i quali l'assestometro più profondo ha registrato una compattazione regolare, anche se meno marcata rispetto a quanto misurato nelle stazioni di Spinaroni e di Fiumi Uniti. L'andamento delle misure è stato, infatti, più o meno costante nel tempo, tranne che per l'abbassamento registrato nel periodo luglio-settembre 2003: la compattazione totale è stata pari a 18,2 mm (ca. 1,1 mm/a).

Un analogo trend nelle misure si rileva anche per l'assestometro più superficiale, che, però, ha registrato una compattazione totale nettamente più ridotta (5,9 mm complessivi, corrispondenti a circa 0,4 mm/a).

Buona è la correlazione tra curva assestometrica e quella del GPS.

Per quanto riguarda la piezometria si è già segnalata la non attendibilità del piezometro.

Spinaroni

Per la stazione di Spinaroni si hanno a disposizione circa 17 anni di osservazioni (17,1) durante i quali si è registrata una compattazione di 49,5 mm (circa 3,0 mm/a) con un andamento, dopo il primo periodo di assestamento, piuttosto regolare tranne che per la brusca variazione dell'ottobre 2003 di cui si è detto in precedenza.

La correlazione dell'andamento nel tempo delle curve GPS e assestometrica non è molto elevata, il GPS sembra mostrare un trend d'abbassamento abbastanza regolare anche se influenzato dalla stagionalità.

I dati piezometrici non sono da considerarsi attendibili.



Fiumi Uniti

Per la stazione Fiumi Uniti si hanno a disposizione dati fin dal settembre 1994; è, quindi, possibile seguire l'evolversi della compattazione per un arco di tempo più lungo che non nelle due stazioni sopracitate.

Il valore attuale – dicembre 2014- della compattazione totale misurata in tutti questi anni dall'assestometro più profondo è di 42,8 mm, mentre per quello superficiale detto valore è risultato di ca. 41,5 mm. Ciò significa che, assumendo un trend di compattazione del terreno costante nell'arco di oltre 20 anni (20.27) d'osservazione, entrambi gli strumenti hanno registrato una velocità media di compattazione di circa 2÷2,1 mm/a.

L'esame delle curve GPS e assestimetrica profonda mostra poi andamenti abbastanza disuguali nei cicli di compattazione ed espansione del terreno registrati dalle due strumentazioni.

Nella seguente tabella riportano sono riportati i dati complessivi delle compattazioni nelle 3 stazioni, unitamente ai valori medi annuali delle relative velocità.

Sito	Anni d'osservazione	Assestometro profondo		Assestometro superficiale	
		Spostamento complessivo (mm)	Velocità (mm/a)	Spostamento complessivo (mm)	Velocità (mm/a)
Smarlacca	16,7	18,2	1,1	5,9	0,4
Spinaroni	17,1	49,5	2,9	-	-
Fiumi Uniti	20,3	42,8	2,1	41,5	2,0